

Relatividade:
do Teorema de Pitágoras às
ondas gravitacionais
na velocidade da luz

Sergio E. Jorás
IF-UFRJ

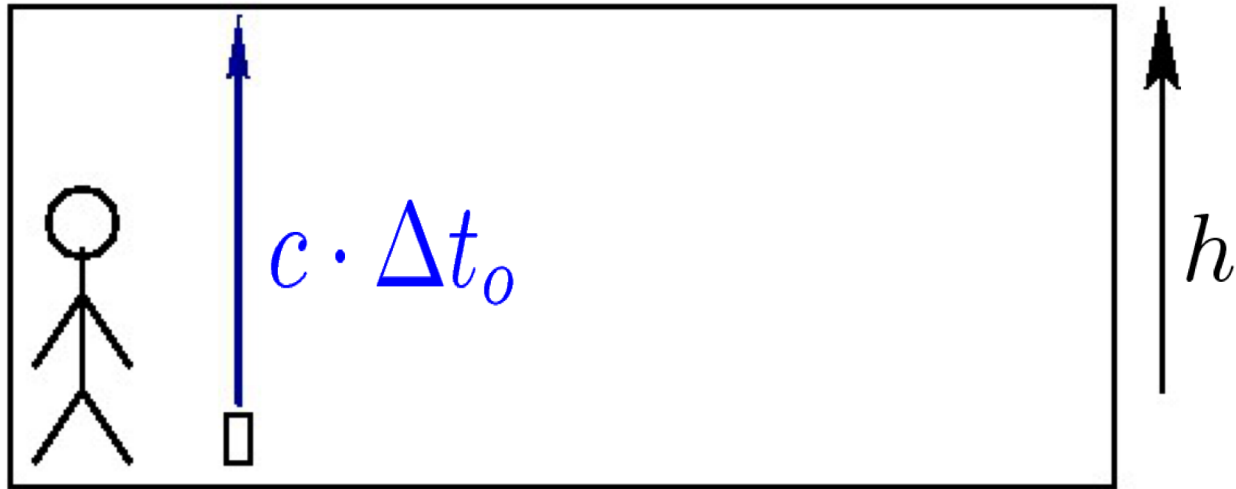
MPEF - UFRJ
maio de 2017

Método Científico

- Suposição
- Previsão
- Teste Experimental
- Conclusão

$c = \text{constante}$

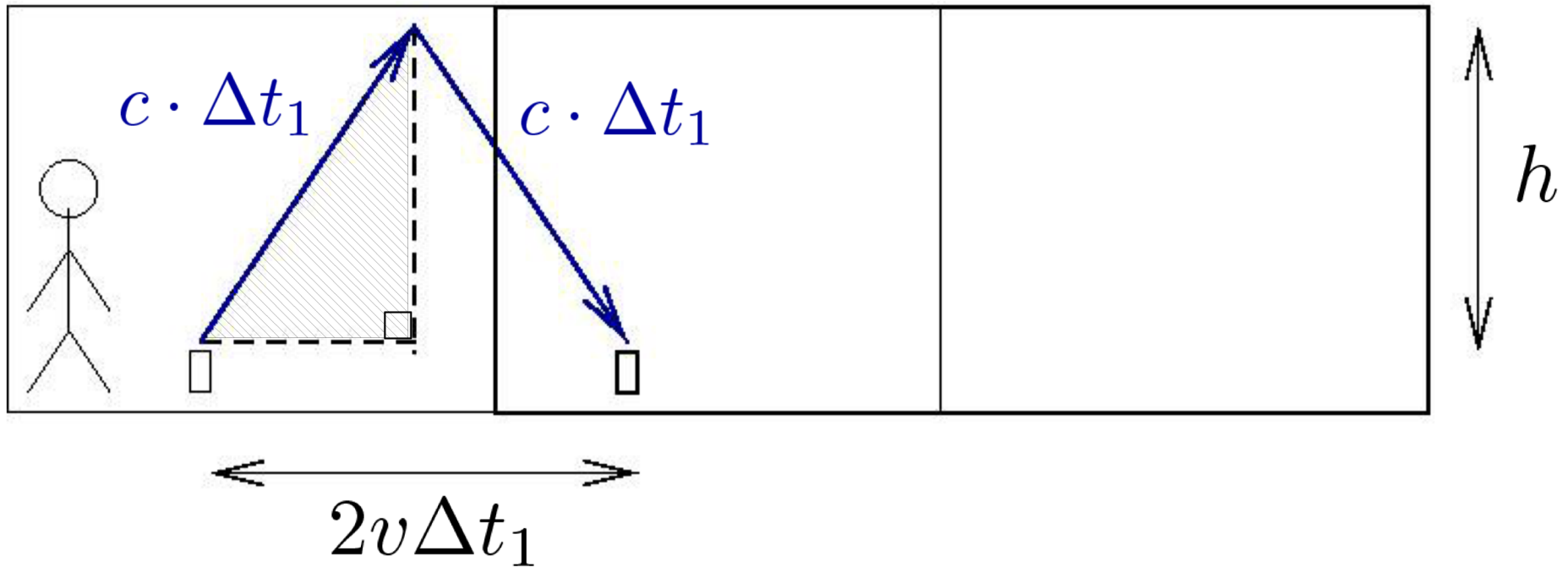
$$v = 0$$



IDA (OU VOLTA):

$$h = c \cdot \Delta t_0$$

$$v \neq 0$$



$$(c \cdot \Delta t_1)^2 = h^2 + (v \cdot \Delta t_1)^2$$

$$(\Delta t_1)^2 (c^2 - v^2) = h^2 = (c \cdot \Delta t_0)^2$$

$$\Delta t_1 = \frac{c}{\sqrt{c^2 - v^2}} \Delta t_0$$

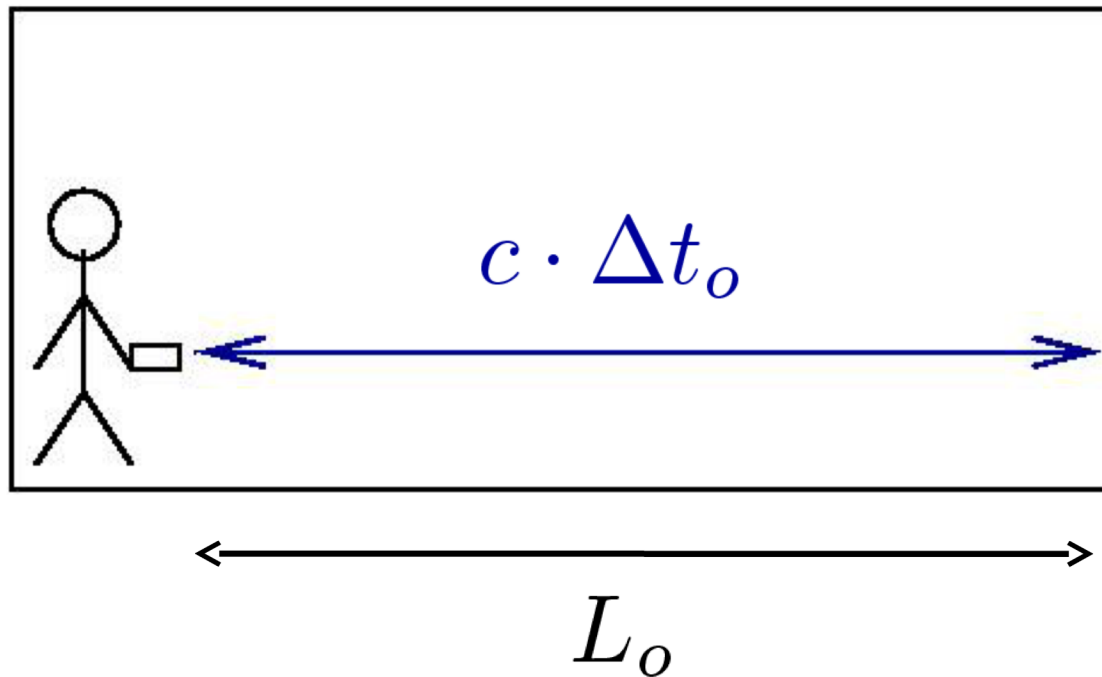
$$\Delta t_1 = \frac{1}{\sqrt{1 - v^2/c^2}} \Delta t_o$$

$$\gamma \equiv \frac{1}{\sqrt{1 - v^2/c^2}}$$

$$\gamma > 1$$

$$\Delta t_1 > \Delta t_o$$

$$v = 0$$

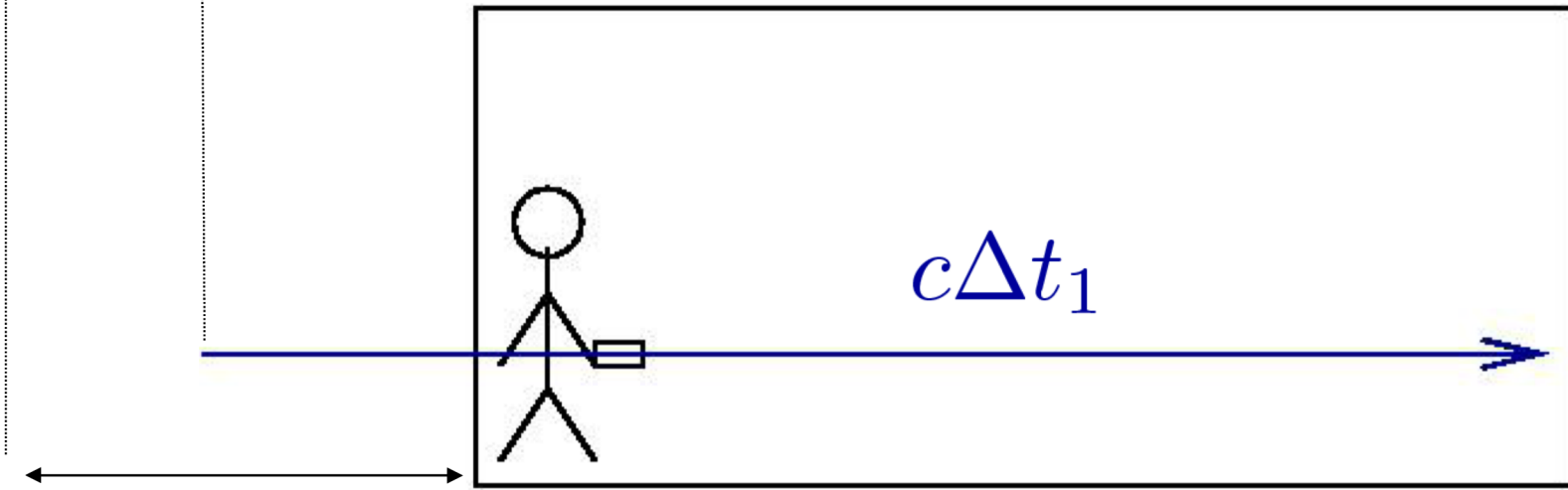
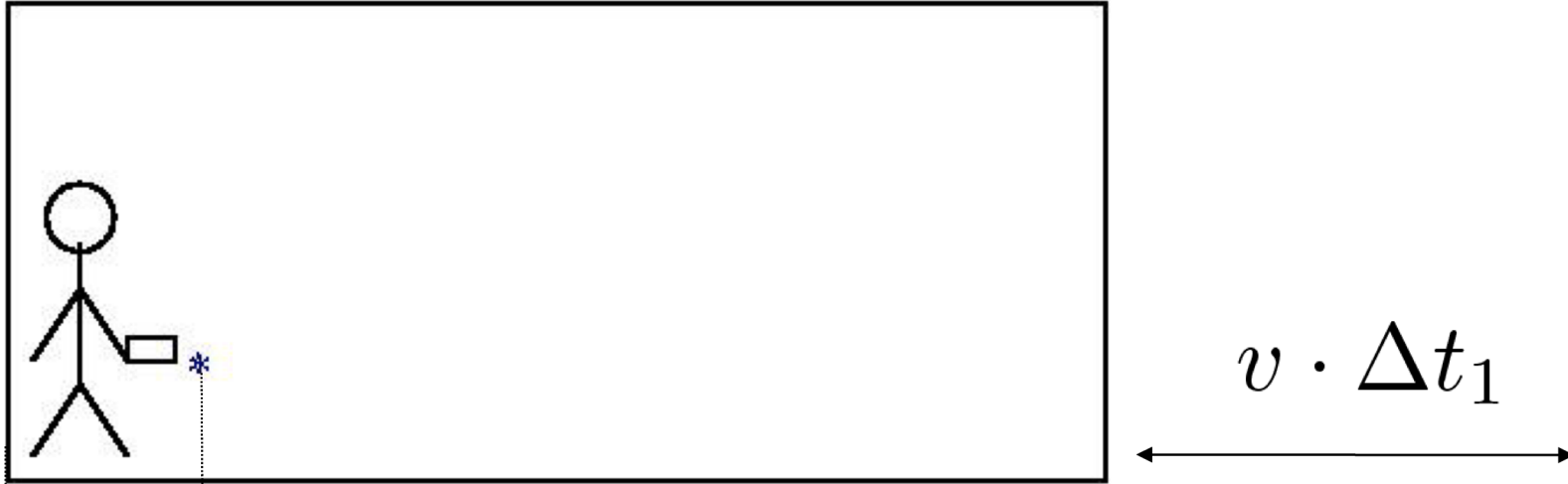


IDA + VOLTA:

$$2L_o = c \cdot \Delta t_o \quad \Rightarrow \quad \Delta t_o = \frac{2L_o}{c}$$

L

$$v \neq 0$$

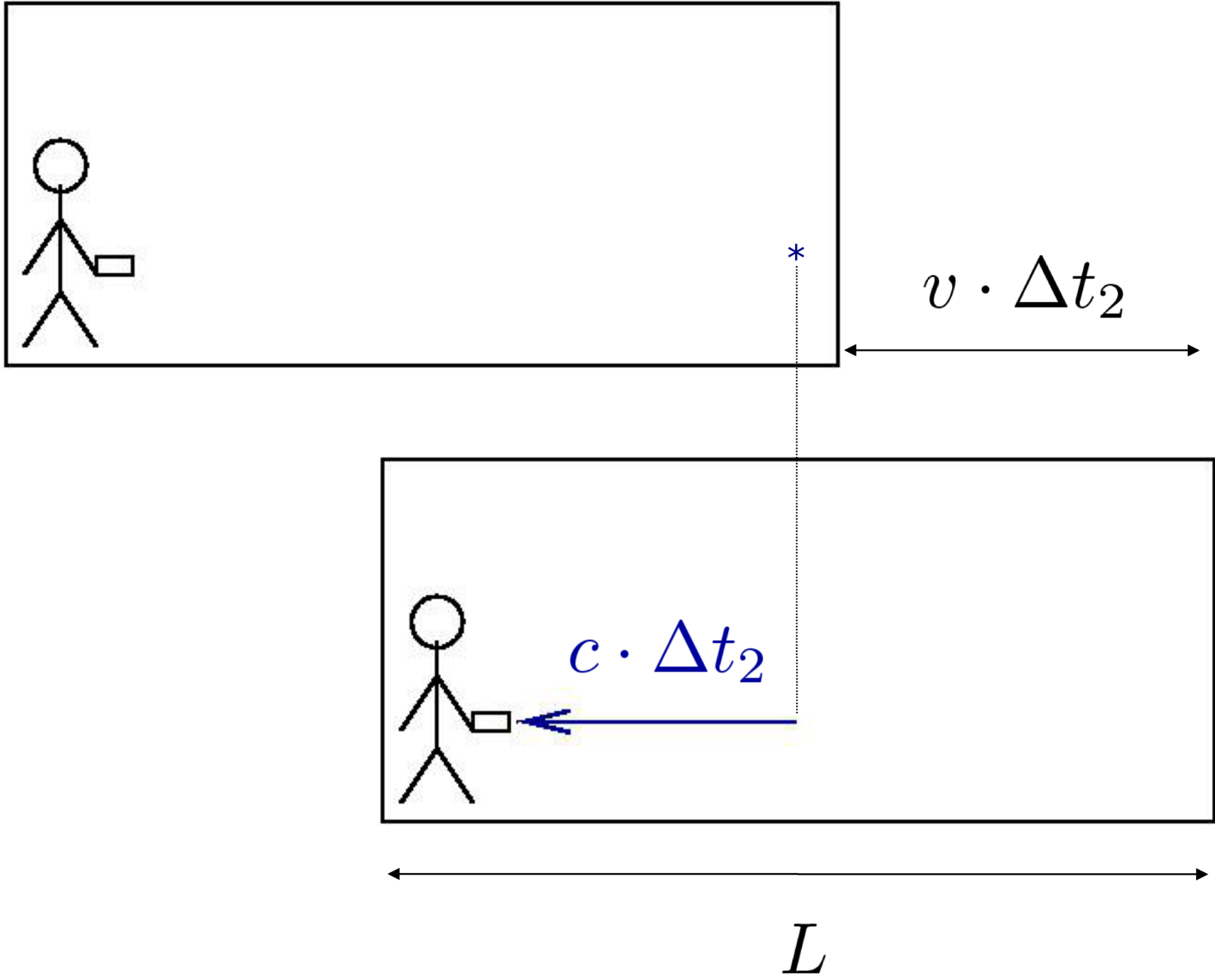


$$v \cdot \Delta t_1$$

$$L + v \cdot \Delta t_1 = c \cdot \Delta t_1$$

$$L = (c - v)\Delta t_1$$

$$\Delta t_1 = \frac{L}{c - v}$$



$$L - v \cdot \Delta t_2 = c \cdot \Delta t_2$$

$$L = (c + v)\Delta t_2$$

$$\Delta t_2 = \frac{L}{c + v}$$

$$\Delta t_1 = \frac{L}{c - v}$$

$$\Delta t_{tot} = L \left(\frac{1}{c-v} + \frac{1}{c+v} \right)$$

$$\Delta t_{tot} = 2 \frac{Lc}{c^2 - v^2} = 2 \frac{L/c}{1 - v^2/c^2}$$

mas, do cálculo anterior:

$$\Delta t_{tot} = L \left(\frac{1}{c-v} + \frac{1}{c+v} \right)$$

$$\Delta t_{tot} = 2 \frac{Lc}{c^2 - v^2} = 2 \frac{L/c}{1 - v^2/c^2}$$

mas, do cálculo anterior (*):

$$\Delta t_{tot} = \frac{1}{\sqrt{1 - v^2/c^2}} \Delta t_o \quad \leftarrow \quad \Delta t_o = \frac{2L_o}{c}$$

$$\Delta t_{tot} = \frac{2L_o/c}{\sqrt{1 - v^2/c^2}}$$

$$\Delta t_{tot} = L \left(\frac{1}{c-v} + \frac{1}{c+v} \right)$$

$$\Delta t_{tot} = 2 \frac{Lc}{c^2 - v^2} = 2 \frac{L/c}{1 - v^2/c^2}$$

mas, do cálculo anterior (*):

$$\Delta t_{tot} = \frac{1}{\sqrt{1 - v^2/c^2}} \Delta t_o \quad \Delta t_o = \frac{2L_o}{c}$$

$$\Delta t_{tot} = \frac{2L_o/c}{\sqrt{1 - v^2/c^2}}$$

=

então

$$2 \frac{L_o/c}{\sqrt{1 - v^2/c^2}} = 2 \frac{L/c}{1 - v^2/c^2}$$

$$L = L_o \sqrt{1 - v^2/c^2}$$

$$\gamma \equiv \frac{1}{\sqrt{1 - v^2/c^2}}$$

$$L = \frac{1}{\gamma} L_o$$

$$\gamma > 1$$


$$L < L_o$$

$$\Delta t_1 > \Delta t_0$$

$$L < L_0$$

Dilatação Temporal

$$\Delta t_1 > \Delta t_0$$

$$L < L_0$$

Contração Espacial

TRANSFORMAÇÕES DE LORENTZ

$$t' = \gamma \left(t - \frac{v \cdot x}{c^2} \right)$$

$$x' = \gamma (x - v \cdot t)$$

$$y' = y$$

$$z' = z$$

$$\gamma \equiv \frac{1}{\sqrt{1 - v^2/c^2}}$$

TRANSFORMAÇÕES DE LORENTZ

$$t' = \gamma \left(t - \frac{v \cdot x}{c^2} \right)$$

$$x' = \gamma (x - v \cdot t)$$

$$y' = y$$

$$z' = z$$

$$\gamma \equiv \frac{1}{\sqrt{1 - v^2/c^2}}$$



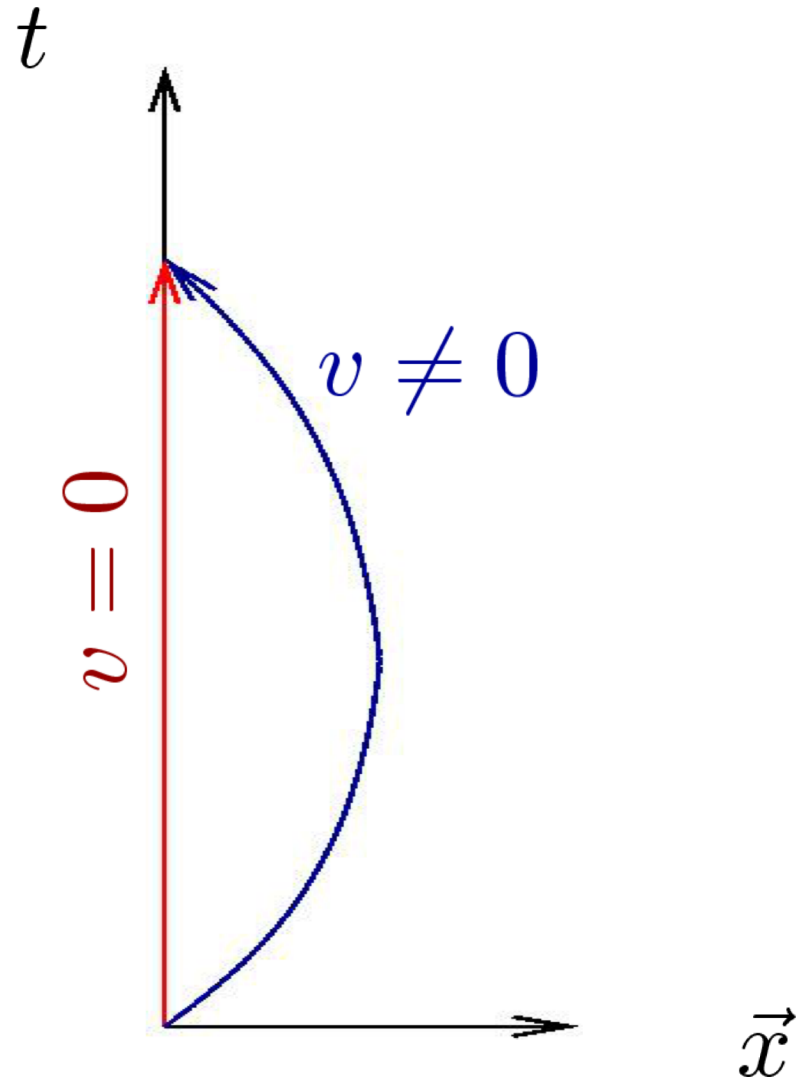
Efeitos mensuráveis?

- Aceleradores de partículas
- Raios cósmicos
- Sistema de posicionamento global (GPS)

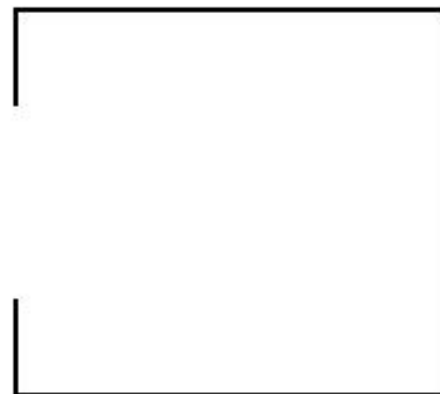
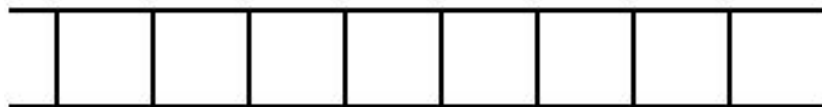
Alguns paradoxos interessantes...

Gêmeos

$$\Delta t_1 = \gamma \Delta t_0$$

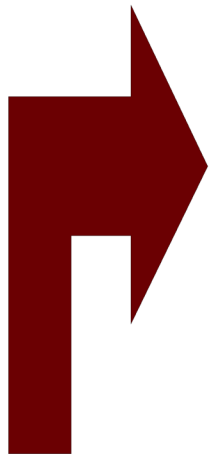


Escada e o celeiro



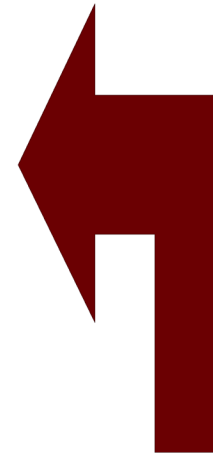
Relatividade geral

O elevador de Einstein e
o Princípio da equivalência



$$F = m_i \cdot a$$

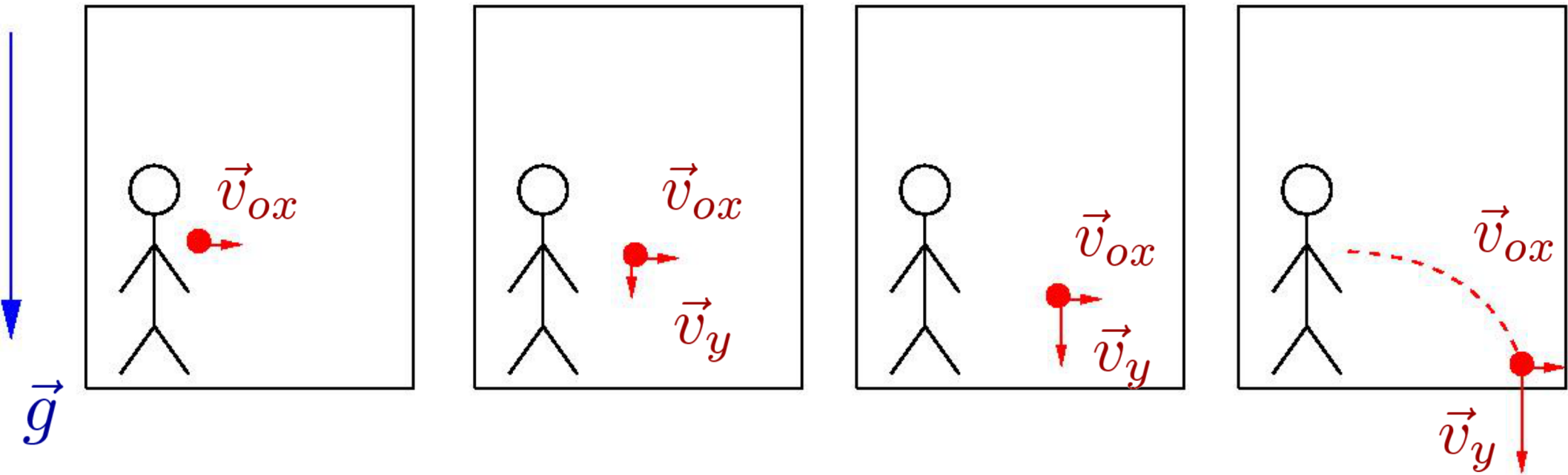
$$m_i = m_g$$



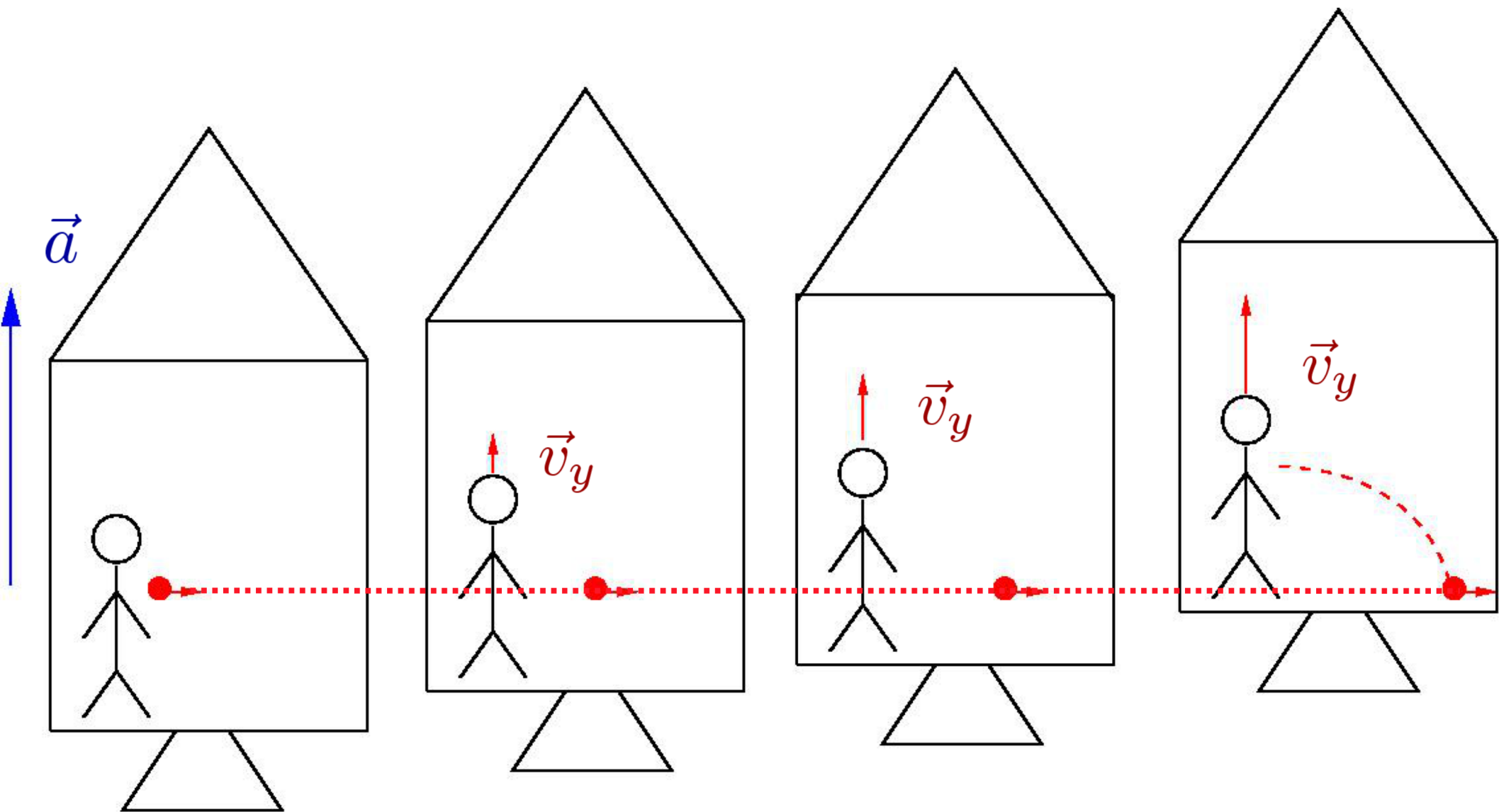
$$F_g = G \frac{m_{g1} \cdot m_{g2}}{r^2}$$

$$\left(F_E = k \frac{q_1 \cdot q_2}{r^2} \right)$$

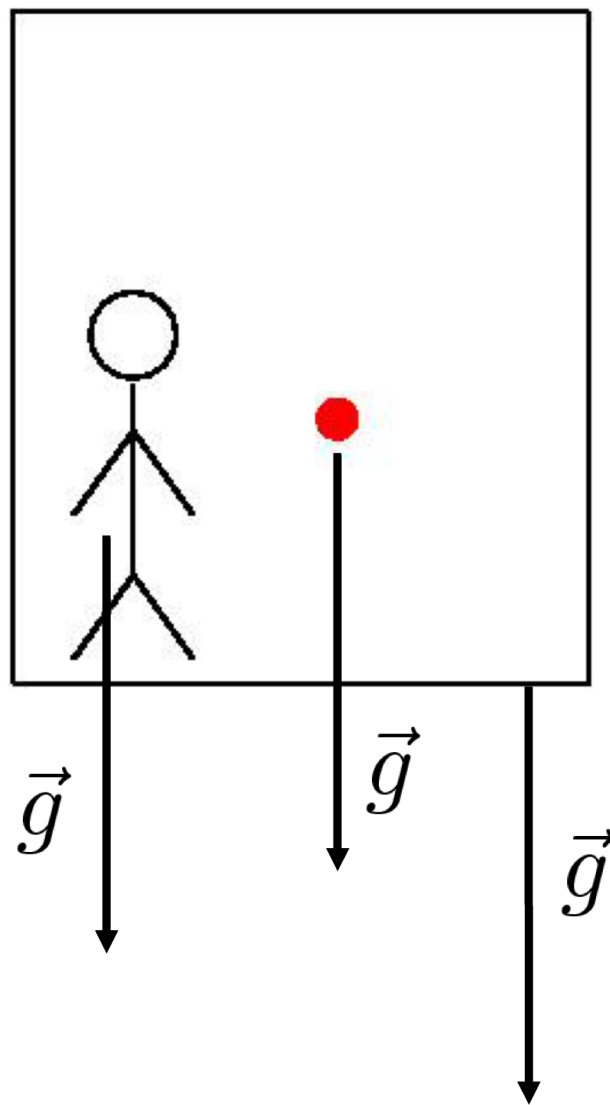
$$\vec{v} = 0 \quad \vec{a} = 0$$



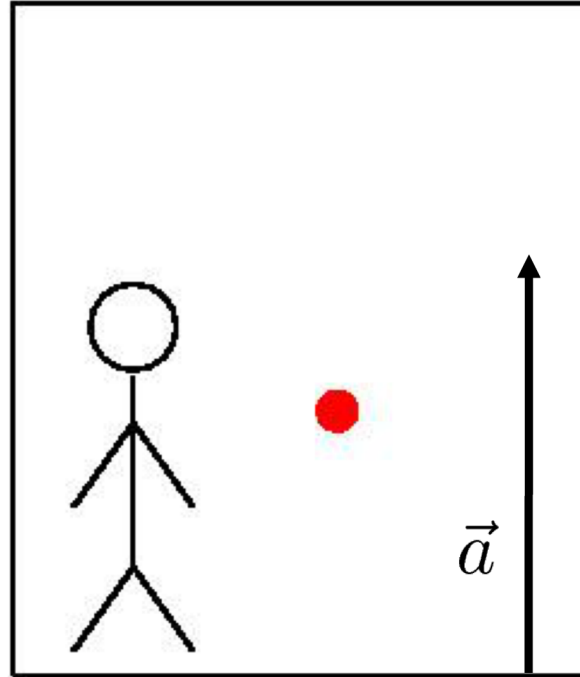
$$\vec{g} = 0$$



$$\vec{g} \neq 0 \quad \vec{a} = 0$$



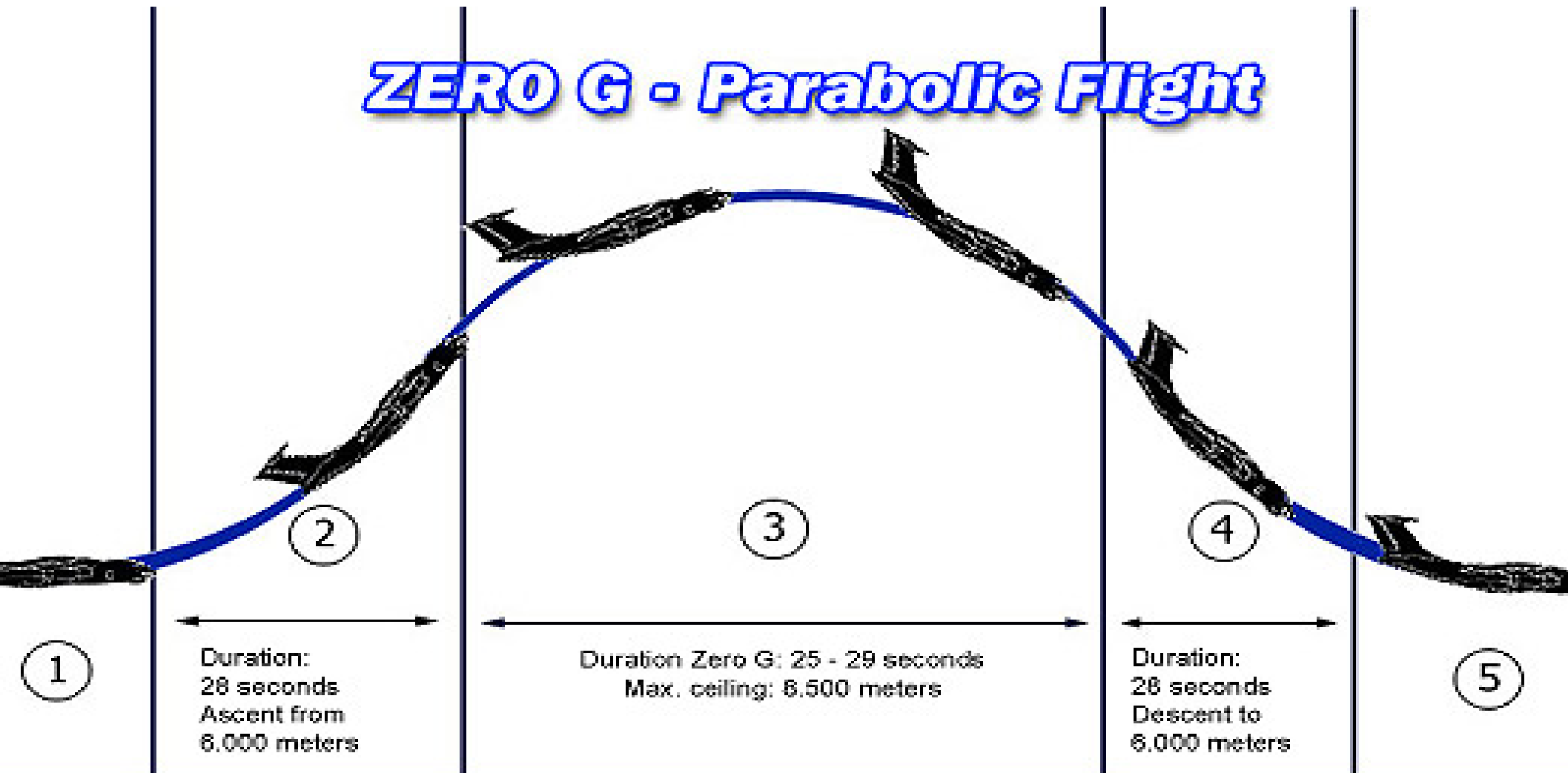
$$\vec{g} = 0 \quad \vec{a} \neq 0$$



$$m_i = m_g$$

FORÇA DE INÉRCIA ?!

ZERO G - Parabolic Flight



HOW DOES IT WORK?

1. Horizontal Flight: 1G

2. Pull up Phase: 2G

3. Zero G Injection Phase: 0G

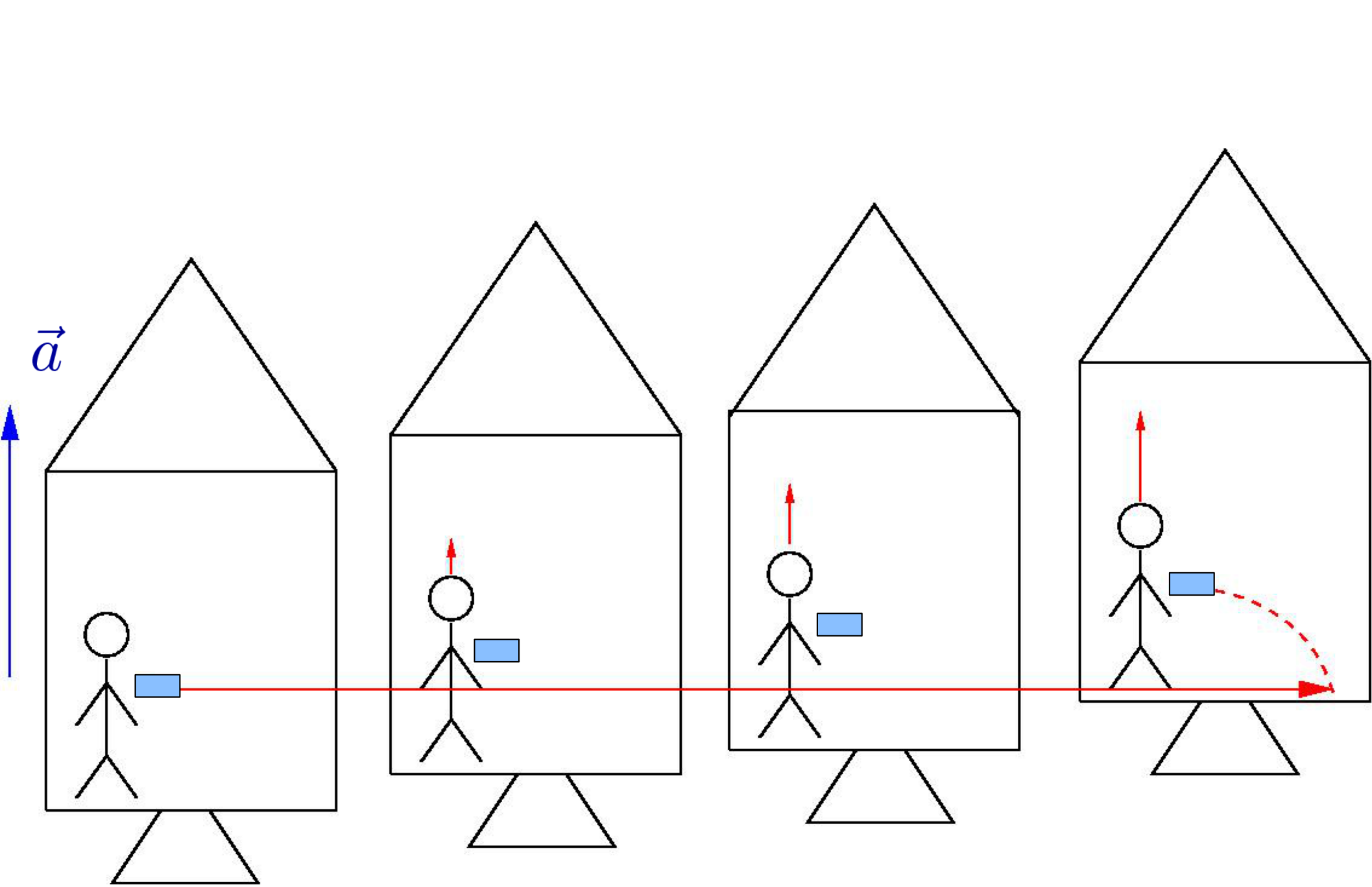
4. Pull out Phase: 2G

5. Normal Flight: 1G

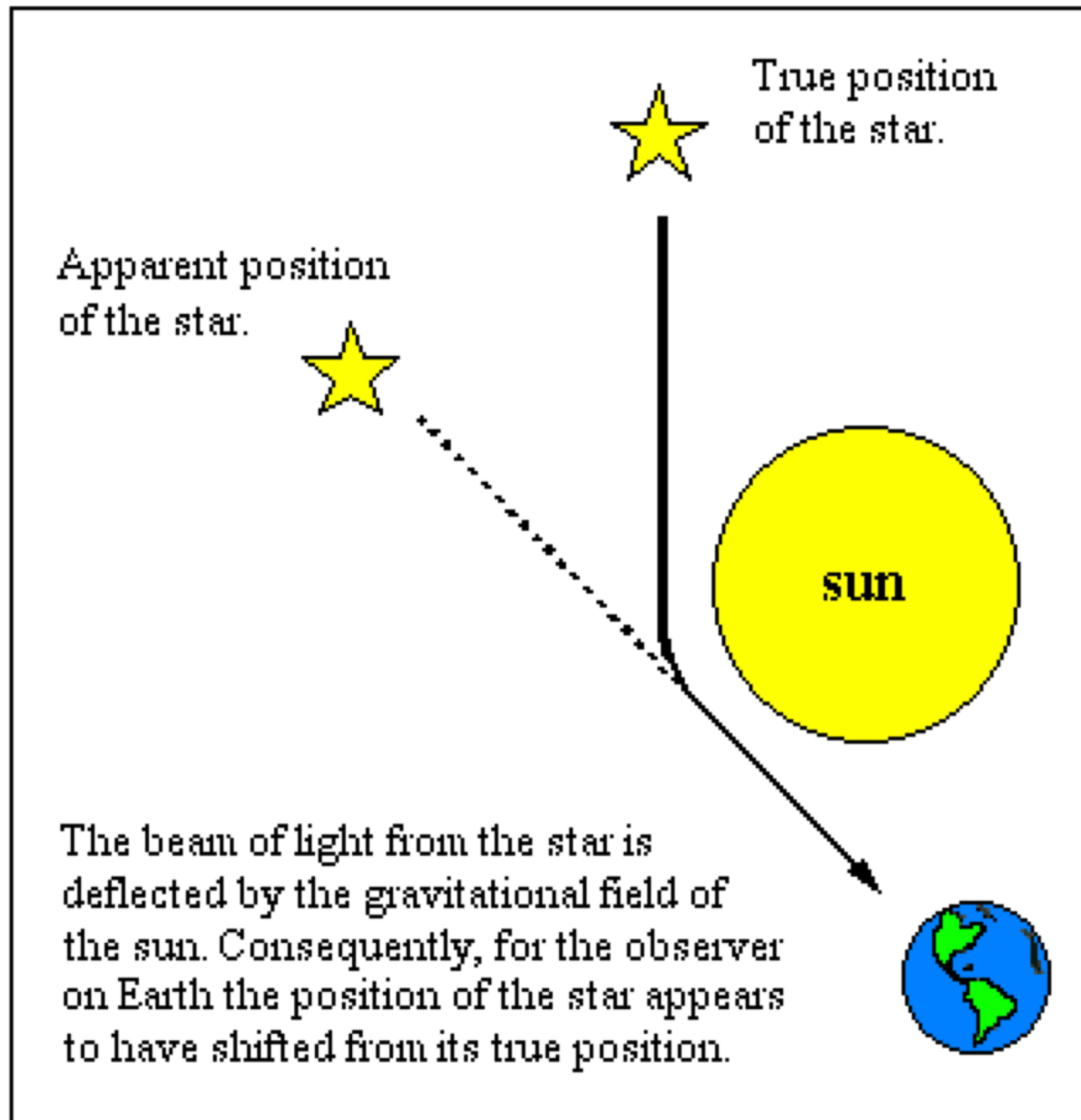


26 / abril / 2007

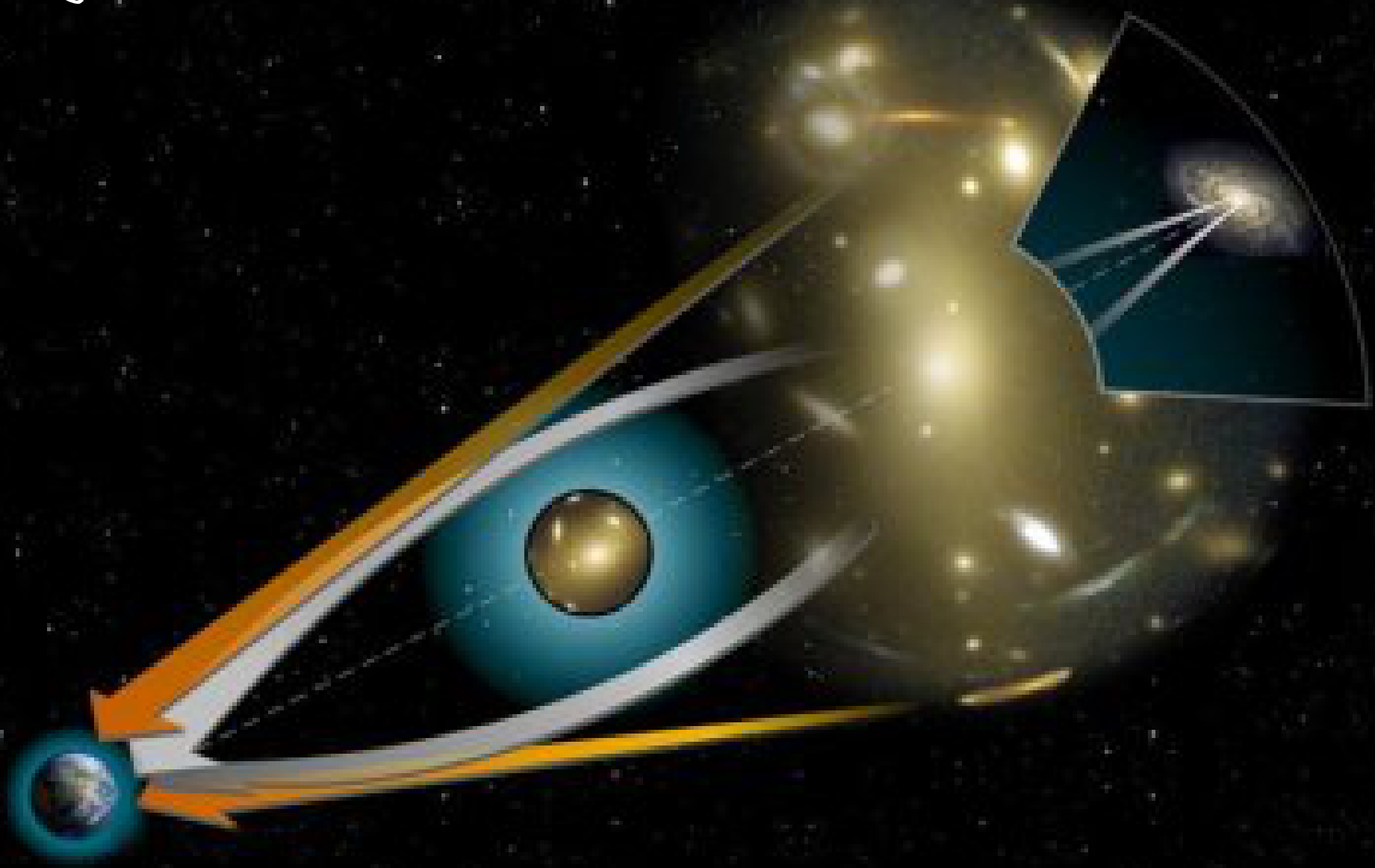
Se as descrições são
mesmo completamente
equivalentes,
então...



- Desvio da luz pelo sol



lentes
gravitacionais





Galaxy Cluster Abell 2218

HST • WFPC2

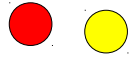
NASA, A. Fruchter and the ERO Team (STScI) • STScI-PRC00-08



<http://ircamera.as.arizona.edu/NatSci102/NatSci102/lectures/galaxydist.htm>



Vamos ver como esta ideia
pode ser útil em casos mais
concretos...

















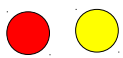








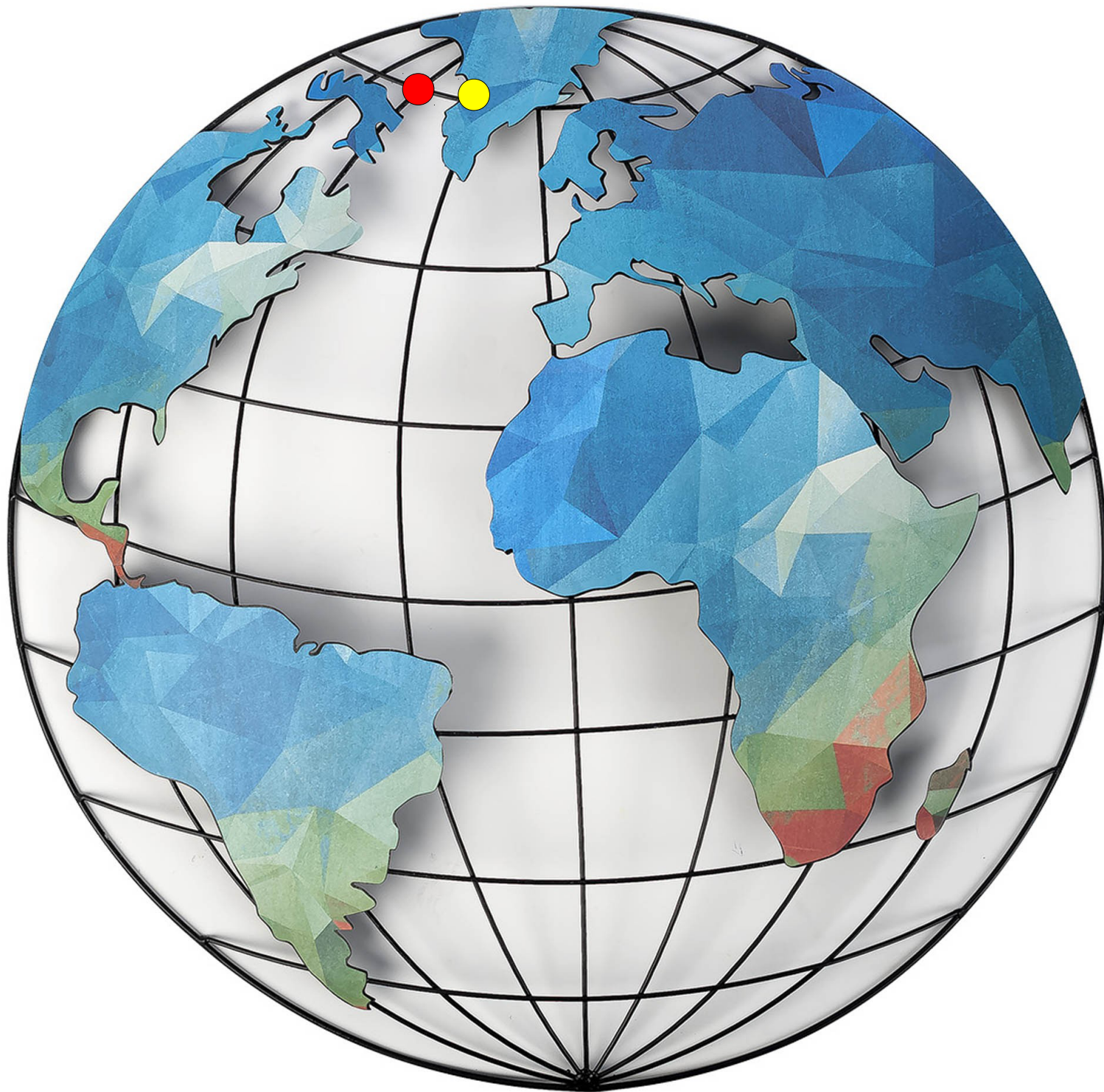




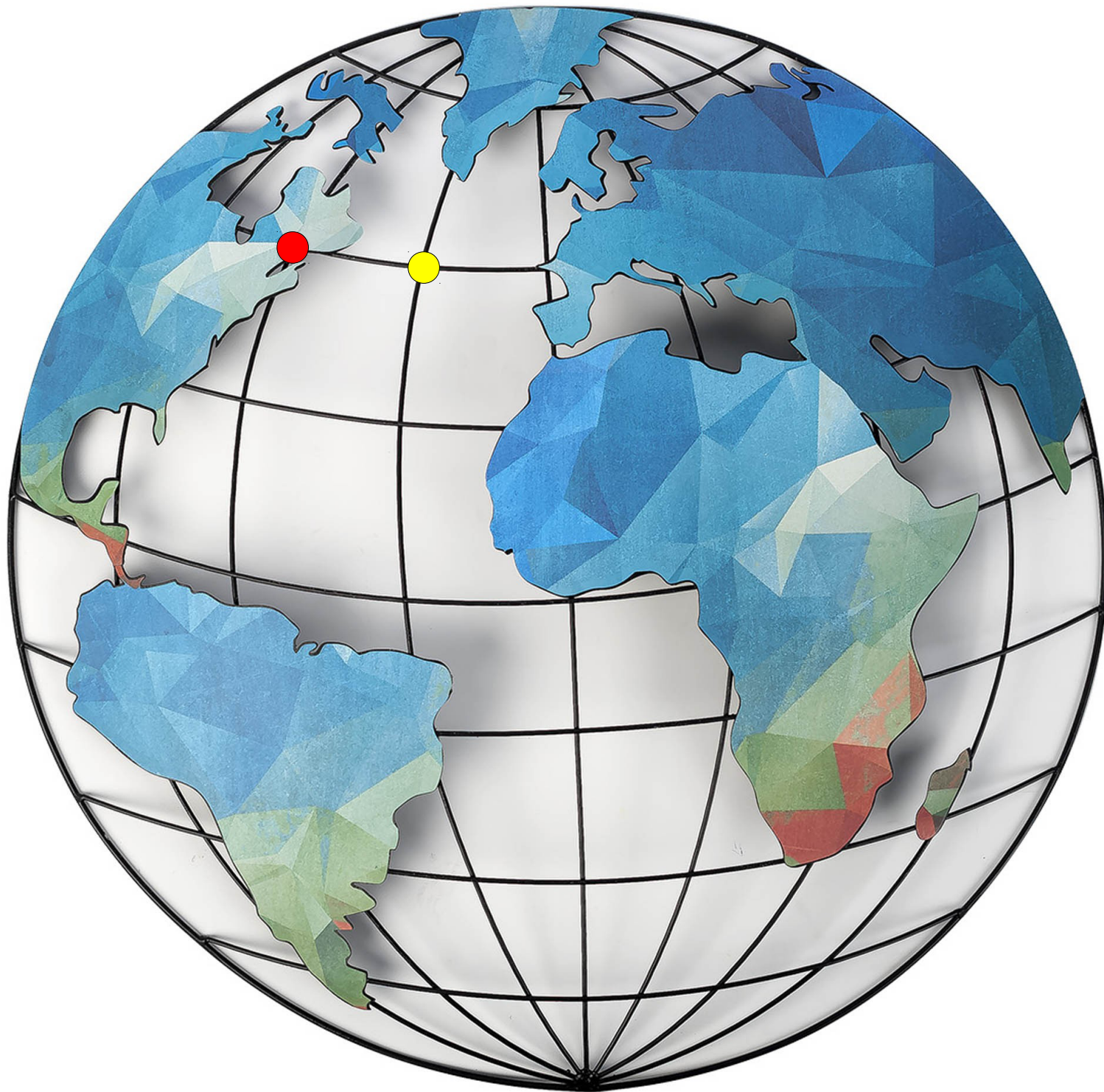
As partículas se afastam e depois se aproximam.

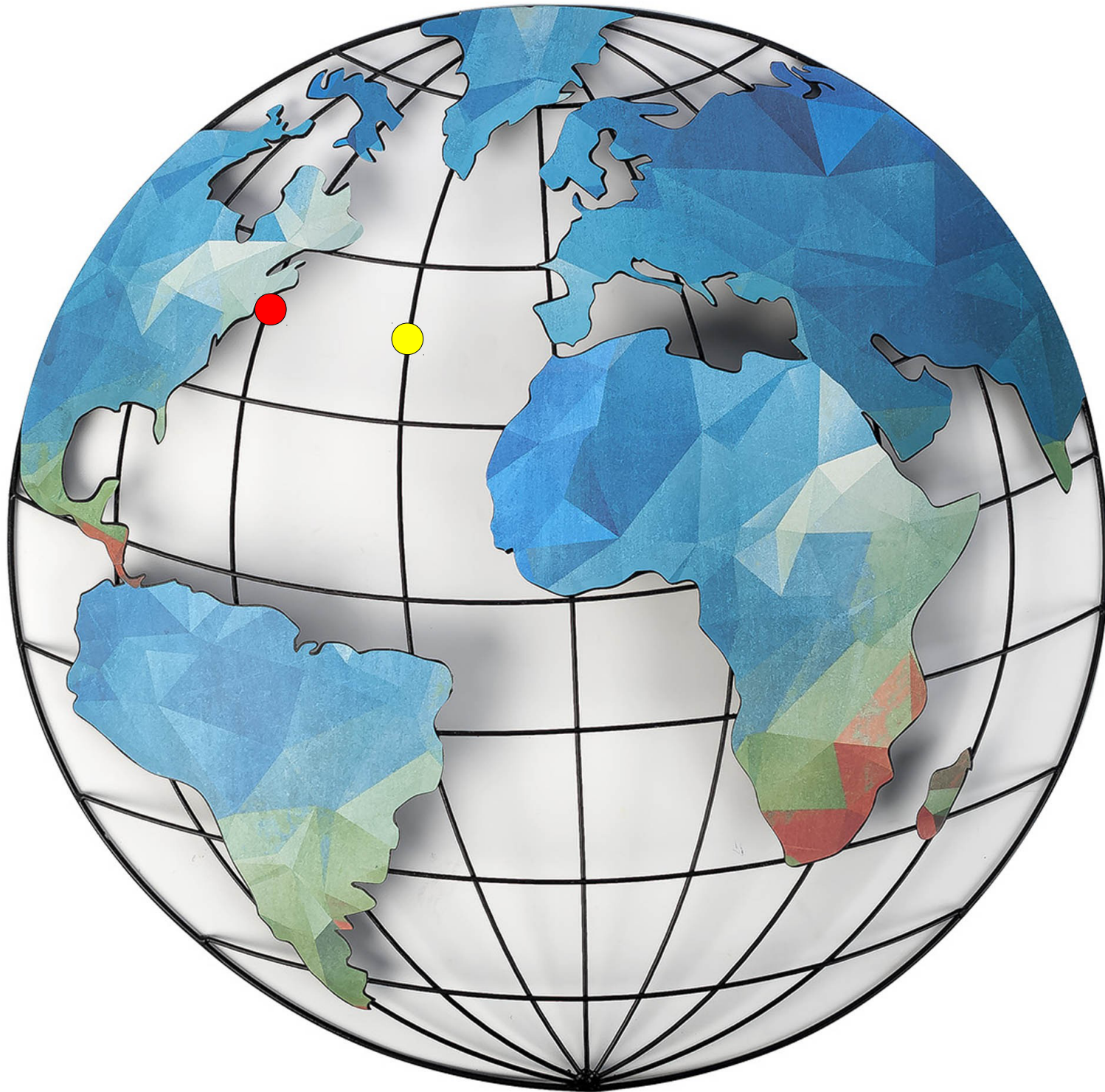
Deve, portanto, haver uma força de interação entre elas!

Mas existe uma maneira mais
fácil de explicar estas
deformações nas trajetórias,
SEM falar de força gravitacional
nem aceleração!

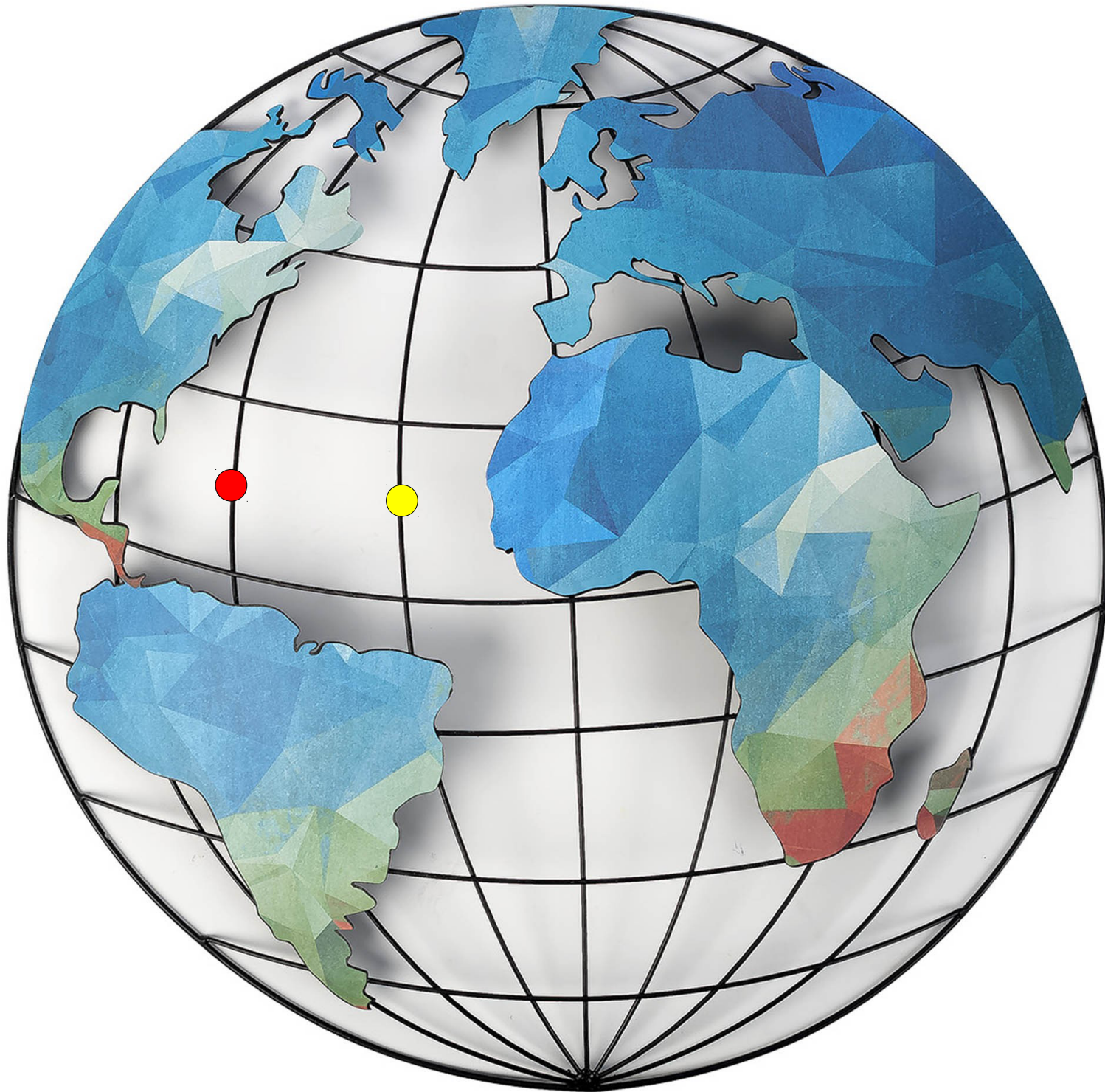




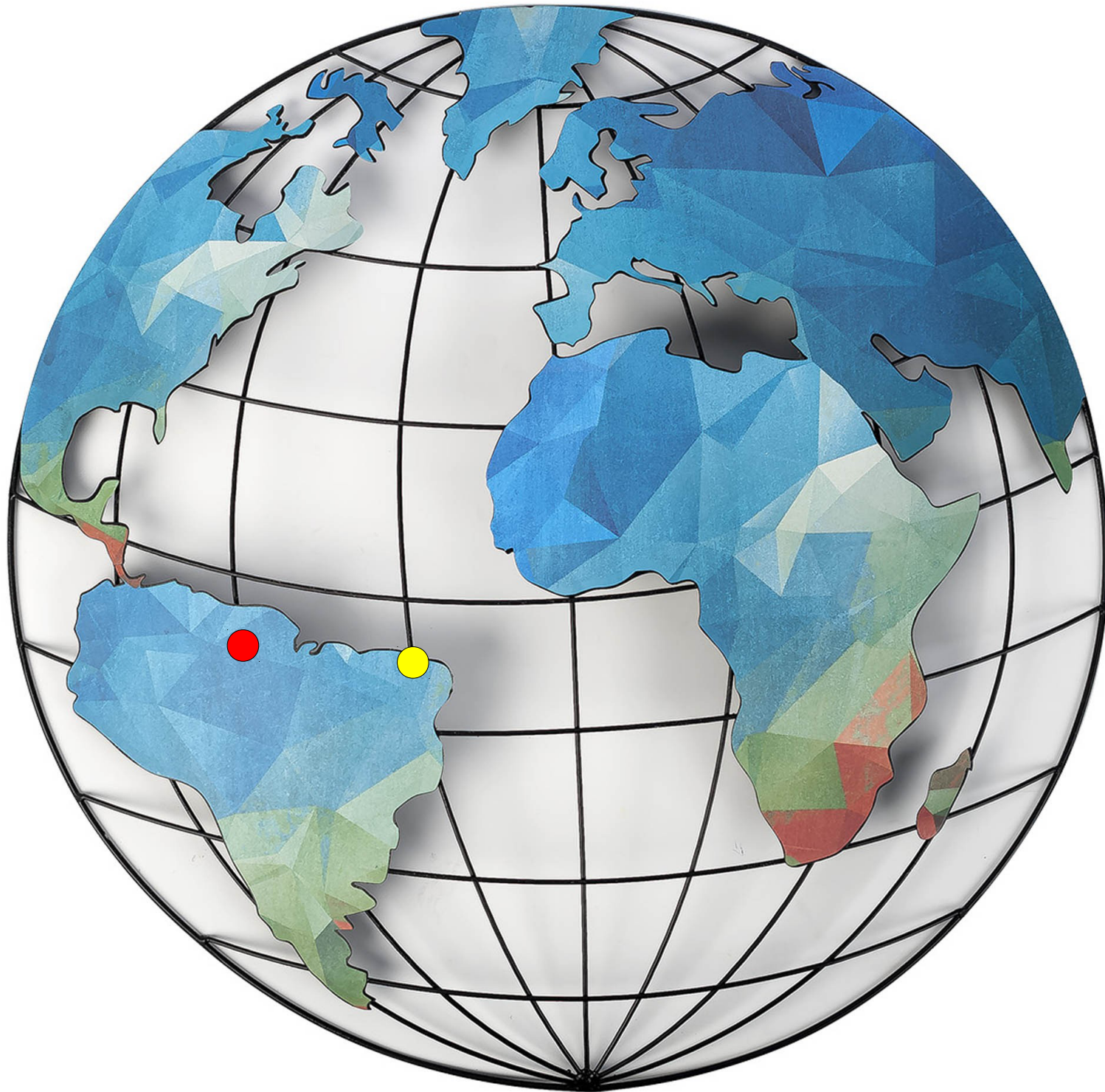












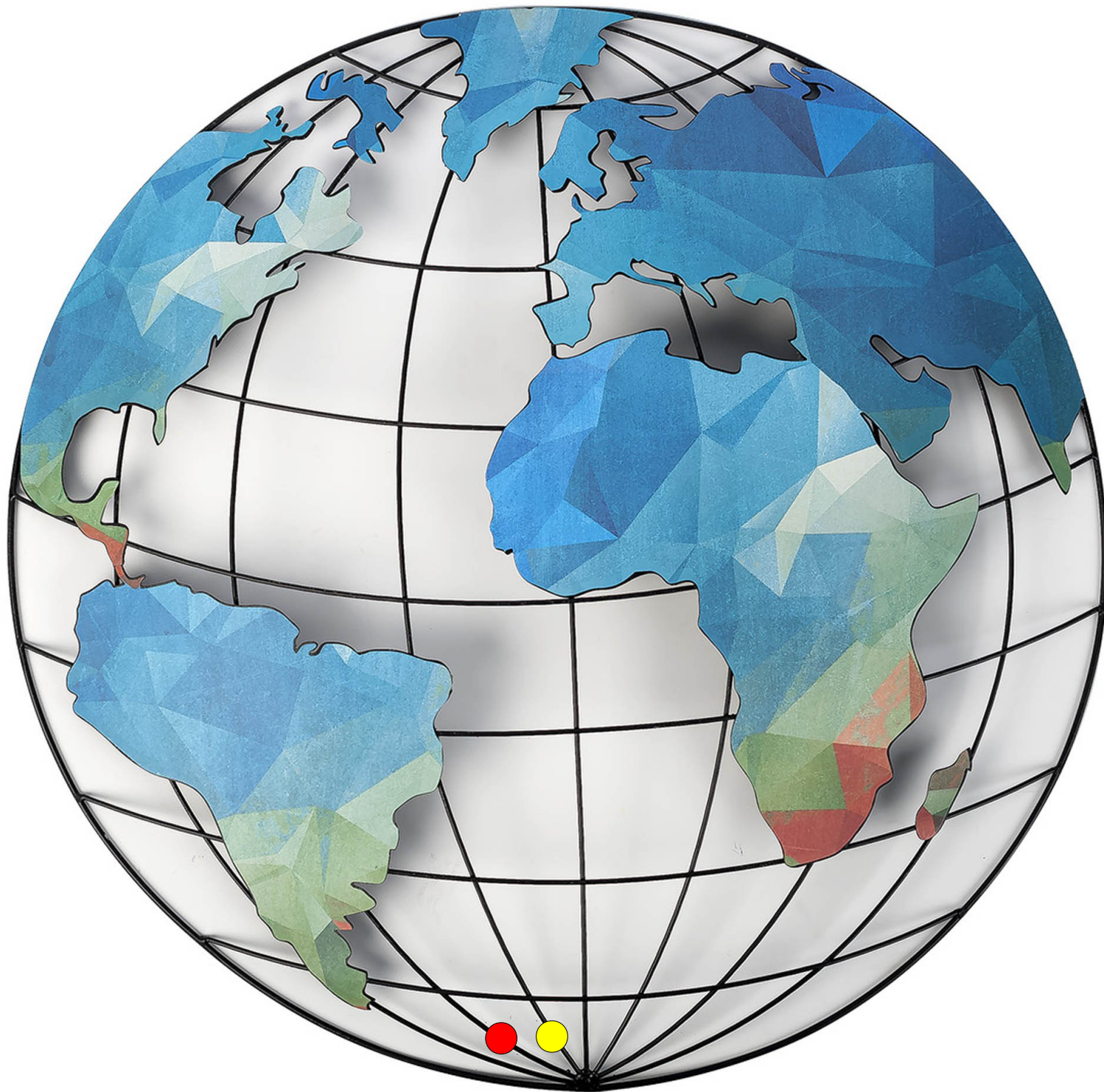




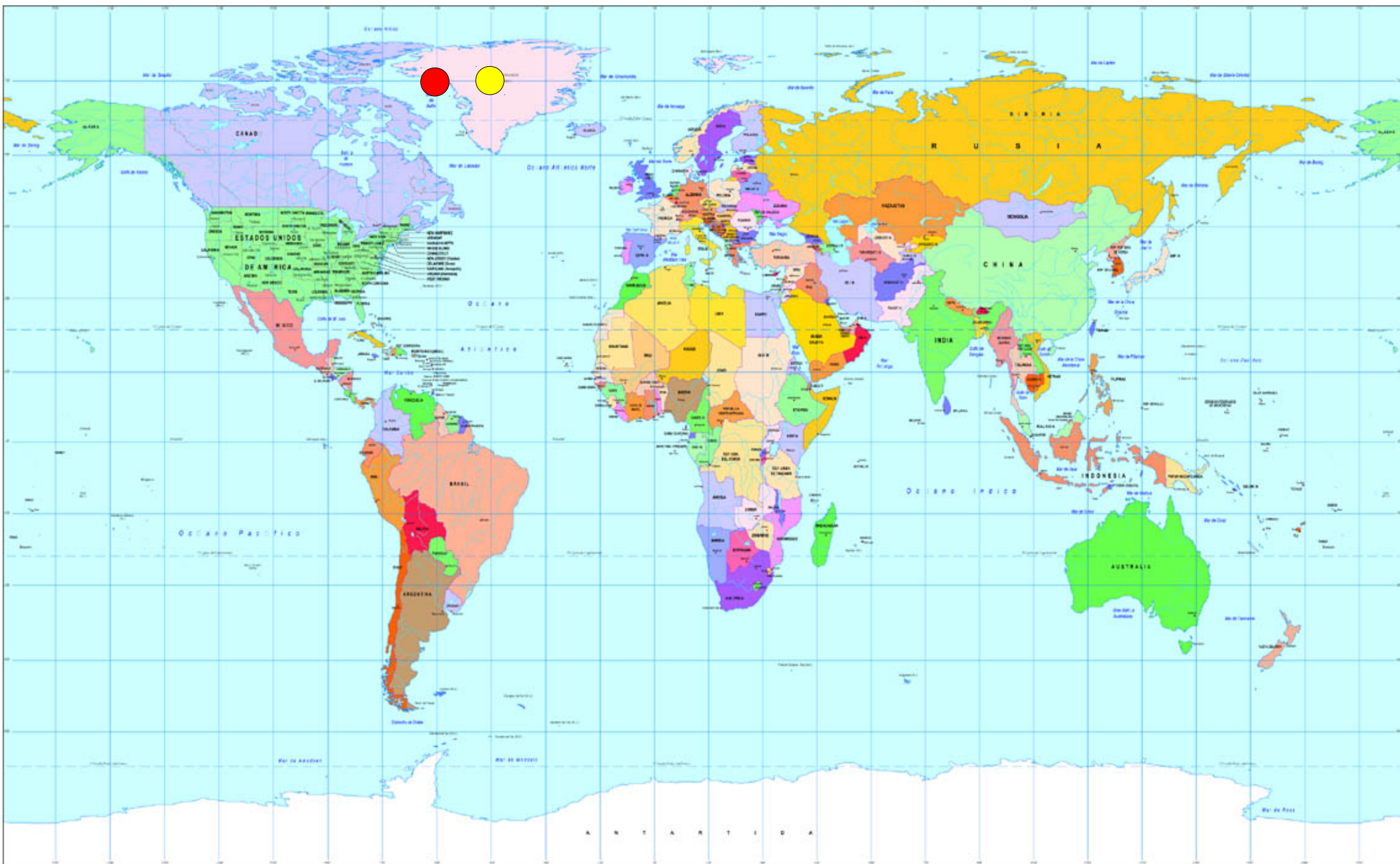


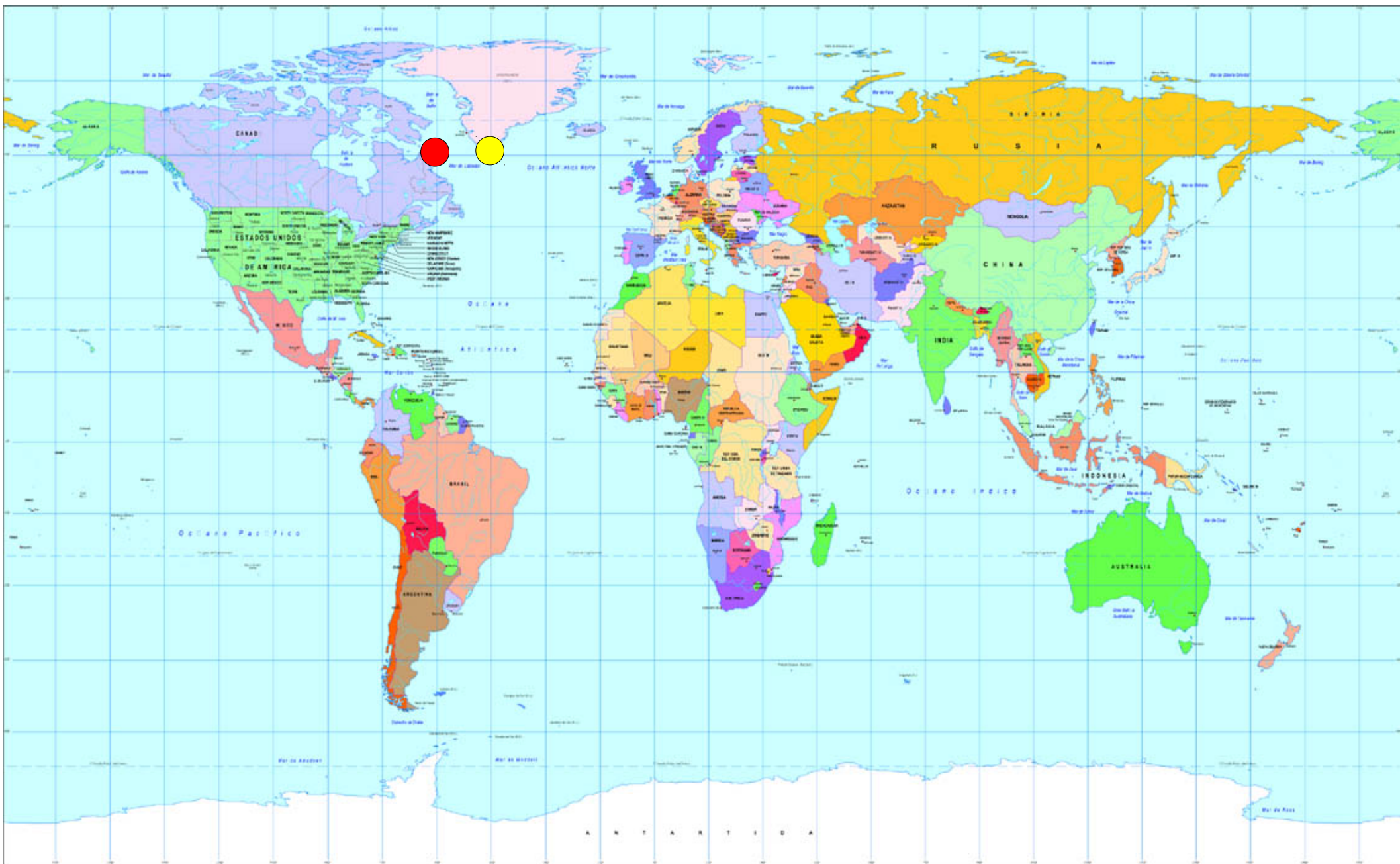


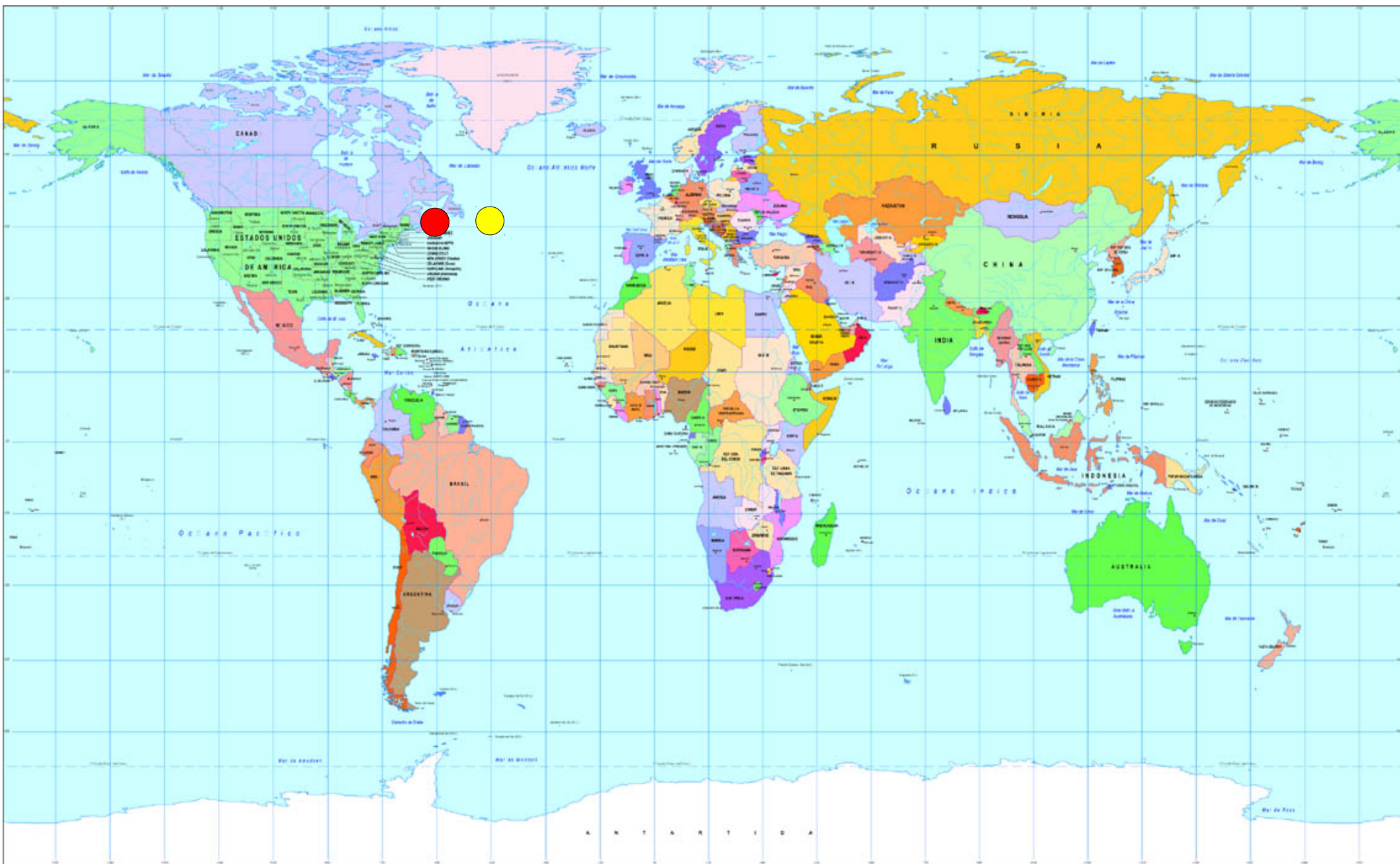


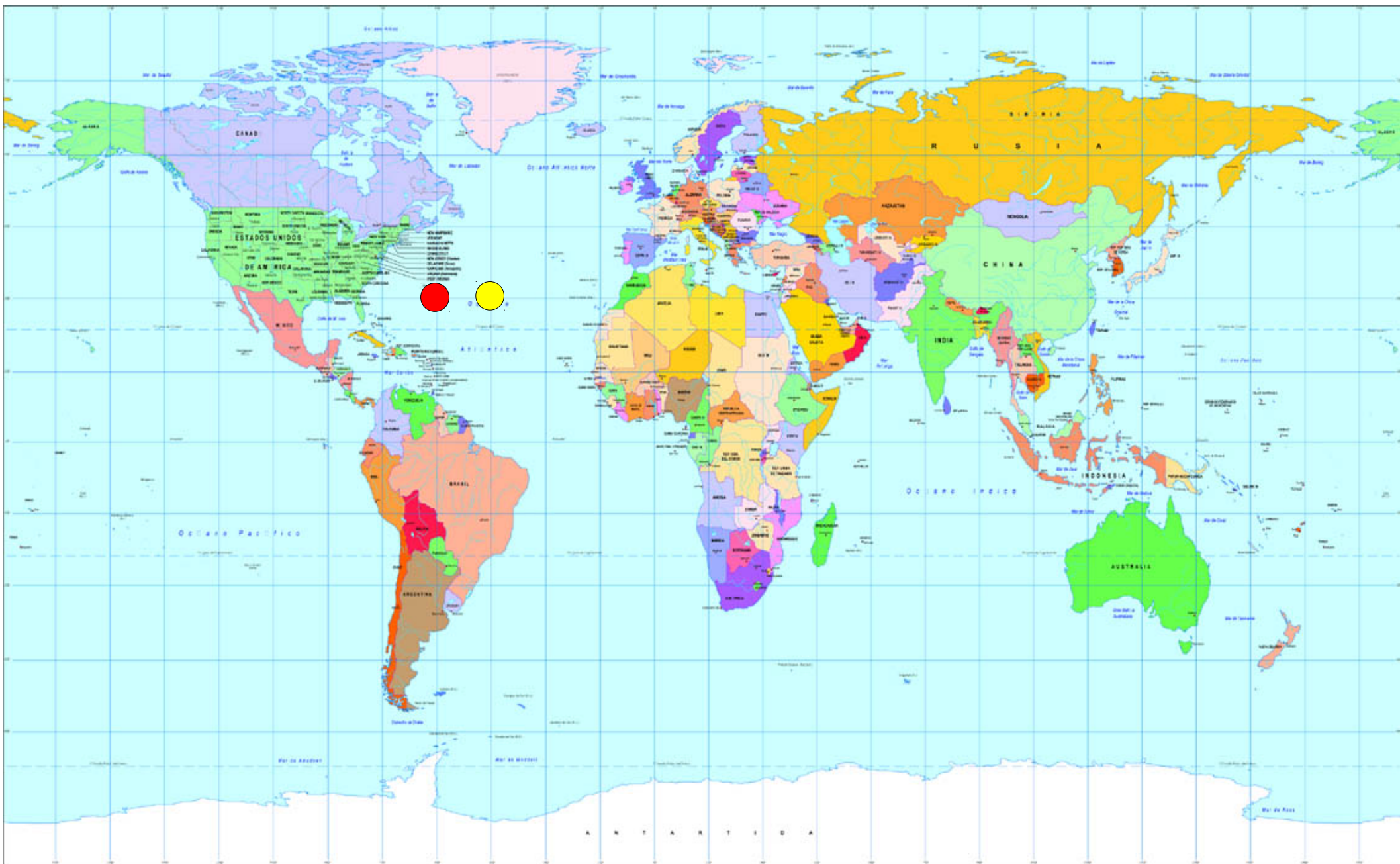


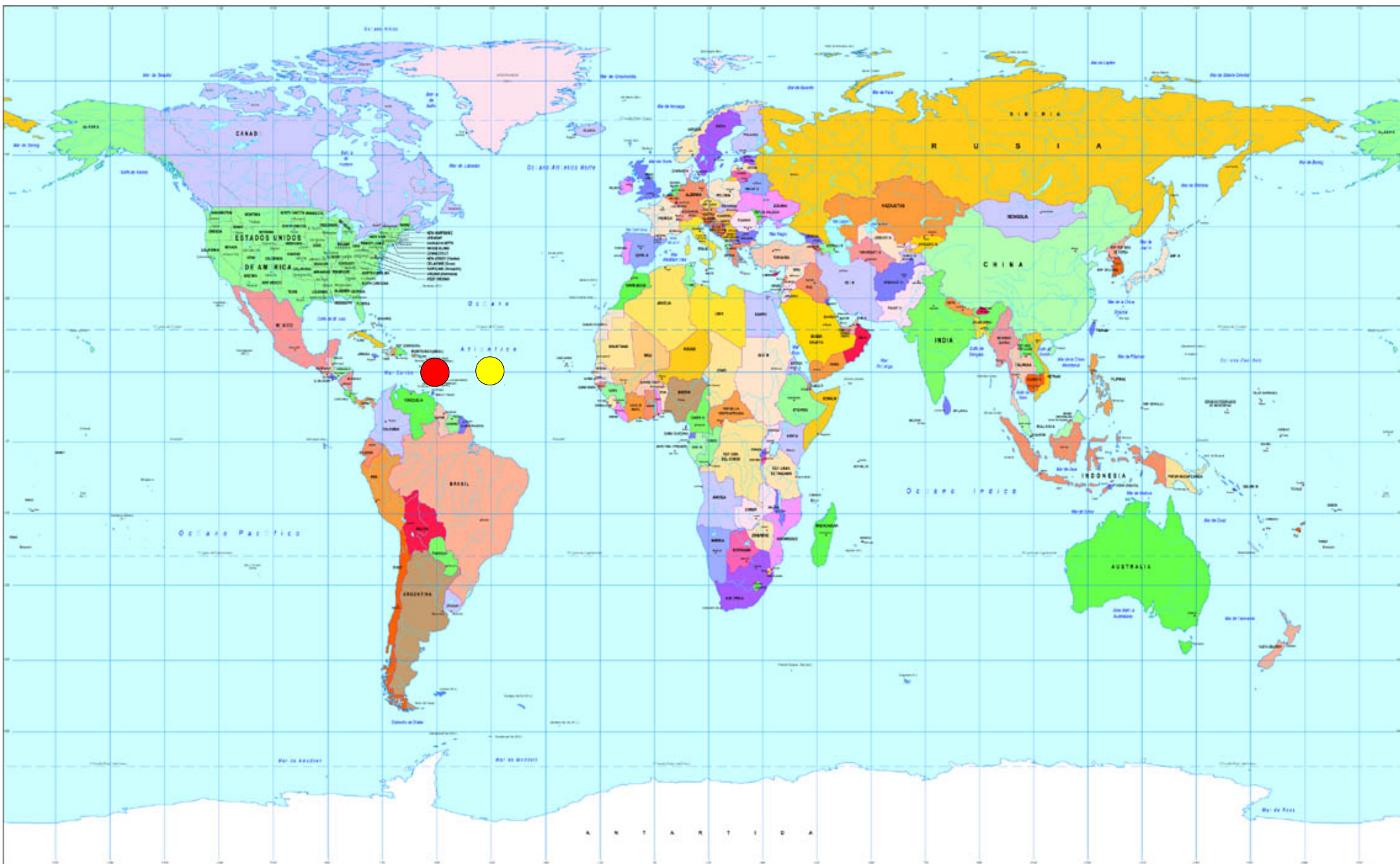
Uma outra opção
é mudar a geometria,
ou seja, nossa medida
de distância !

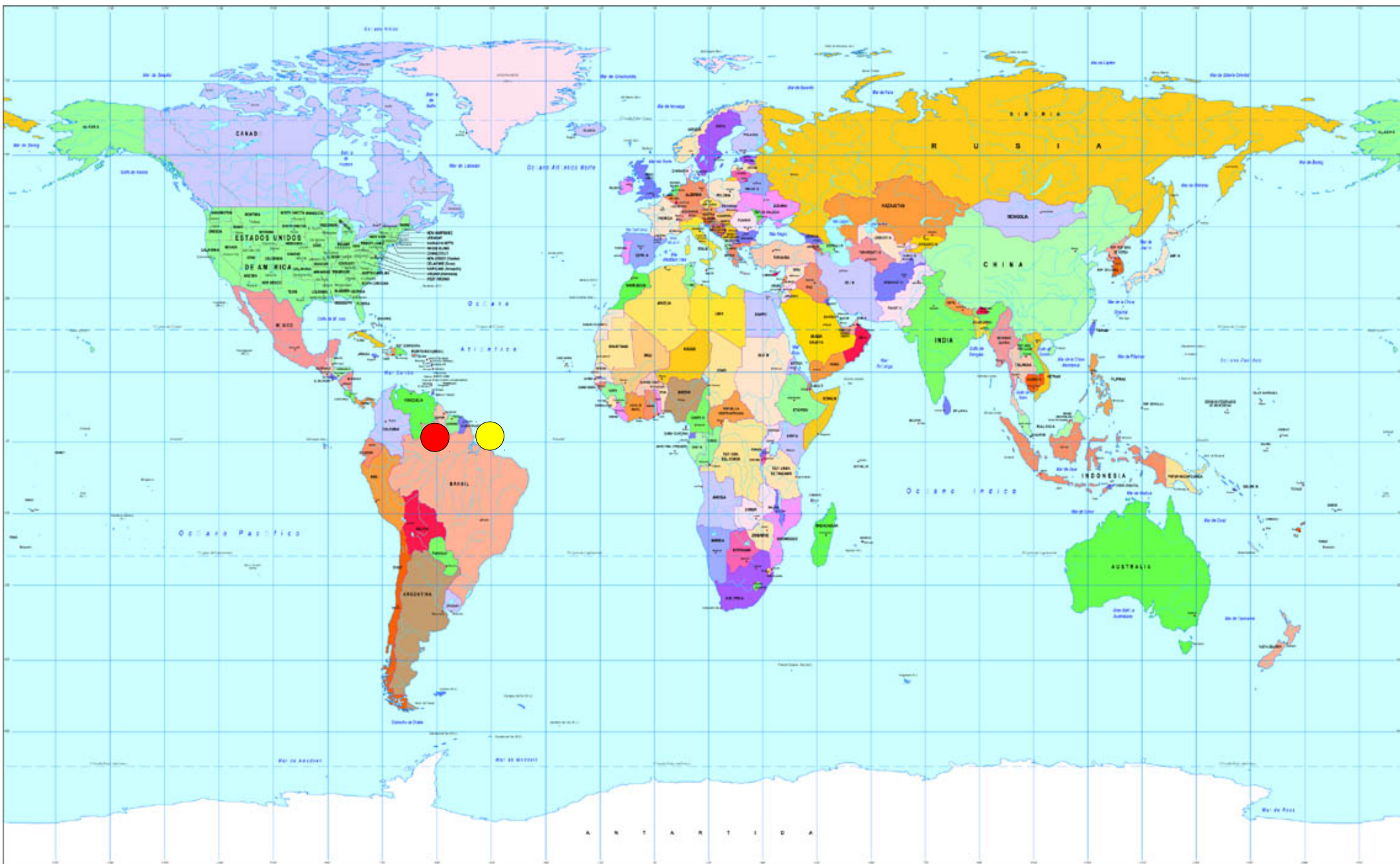


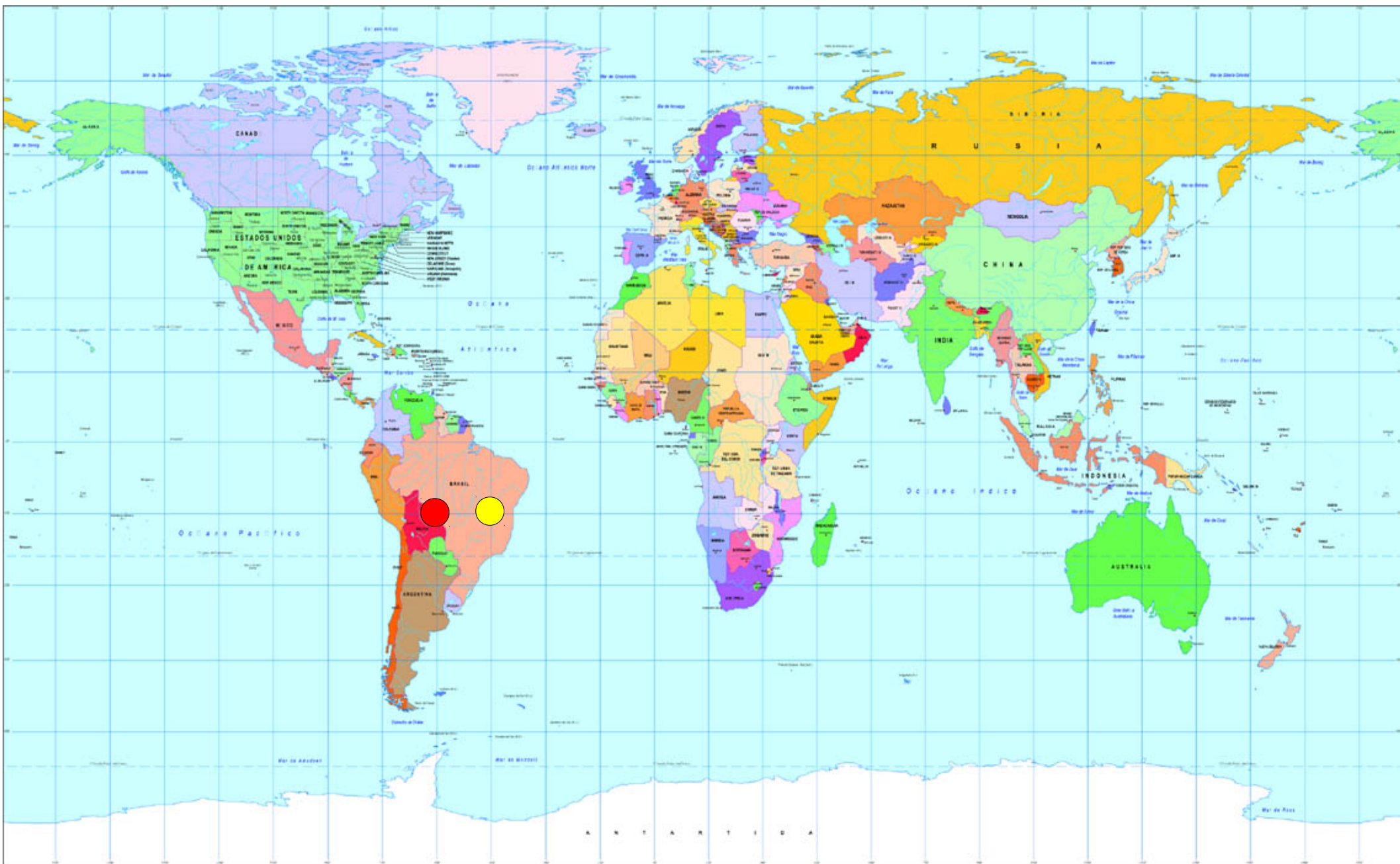


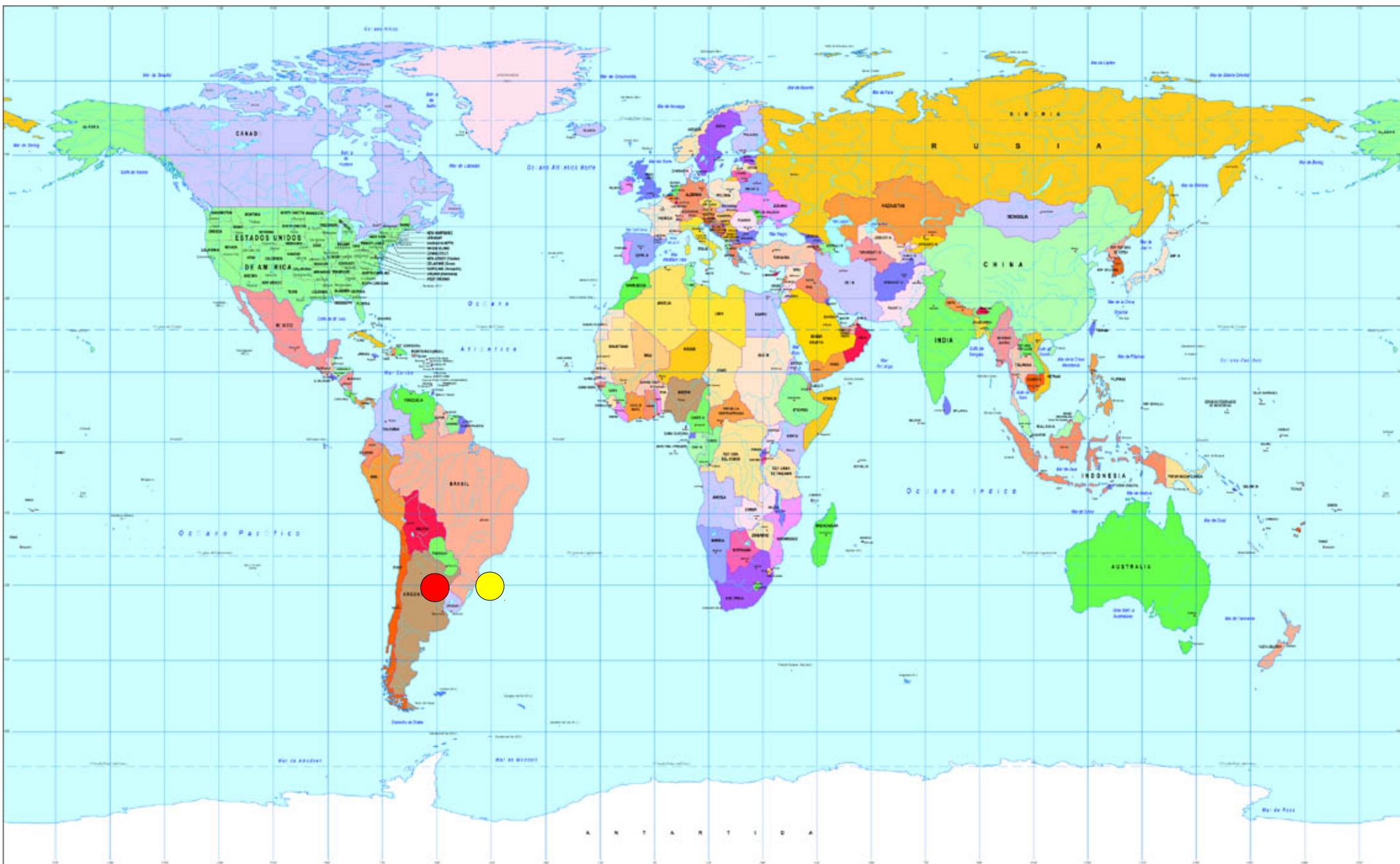


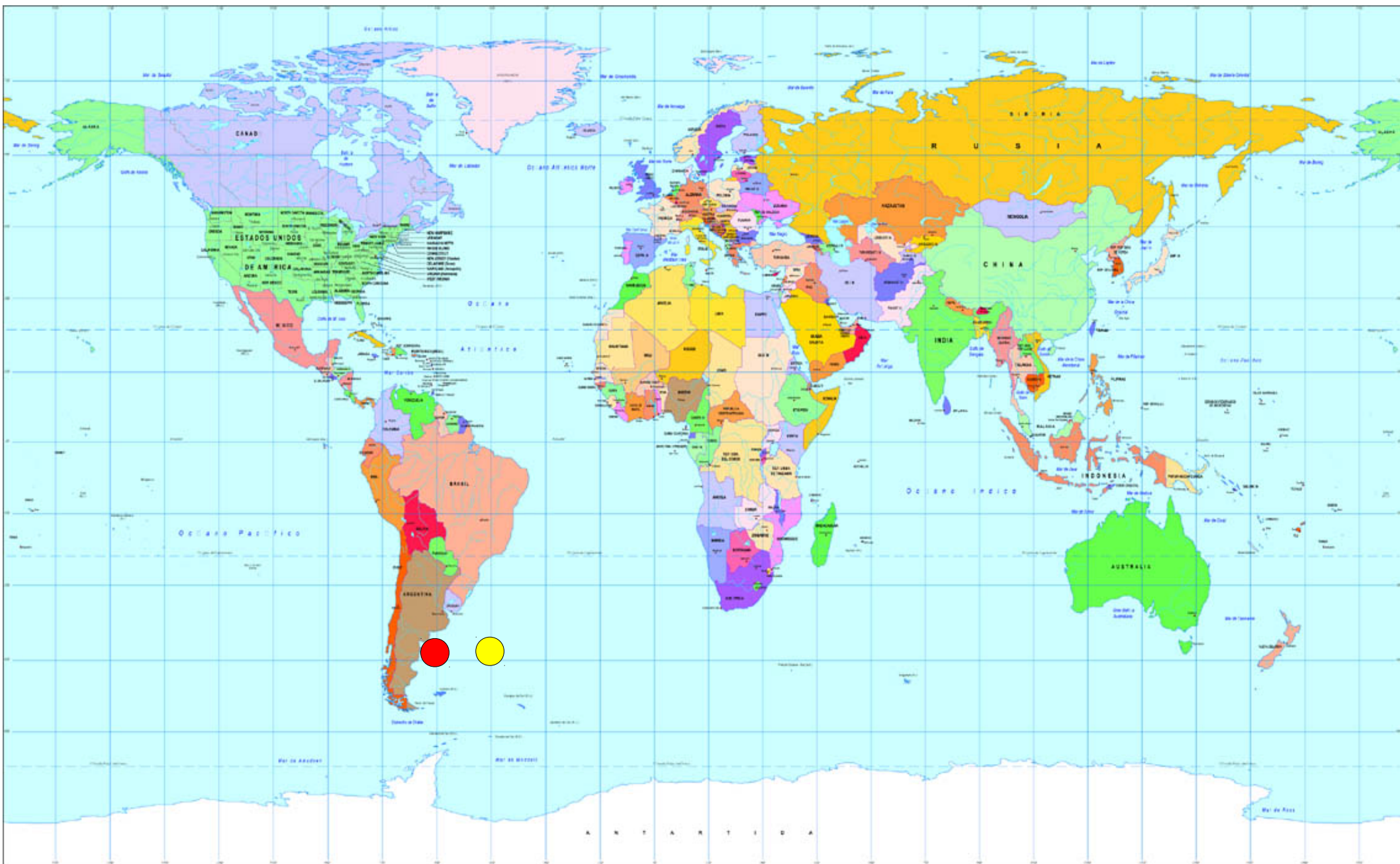


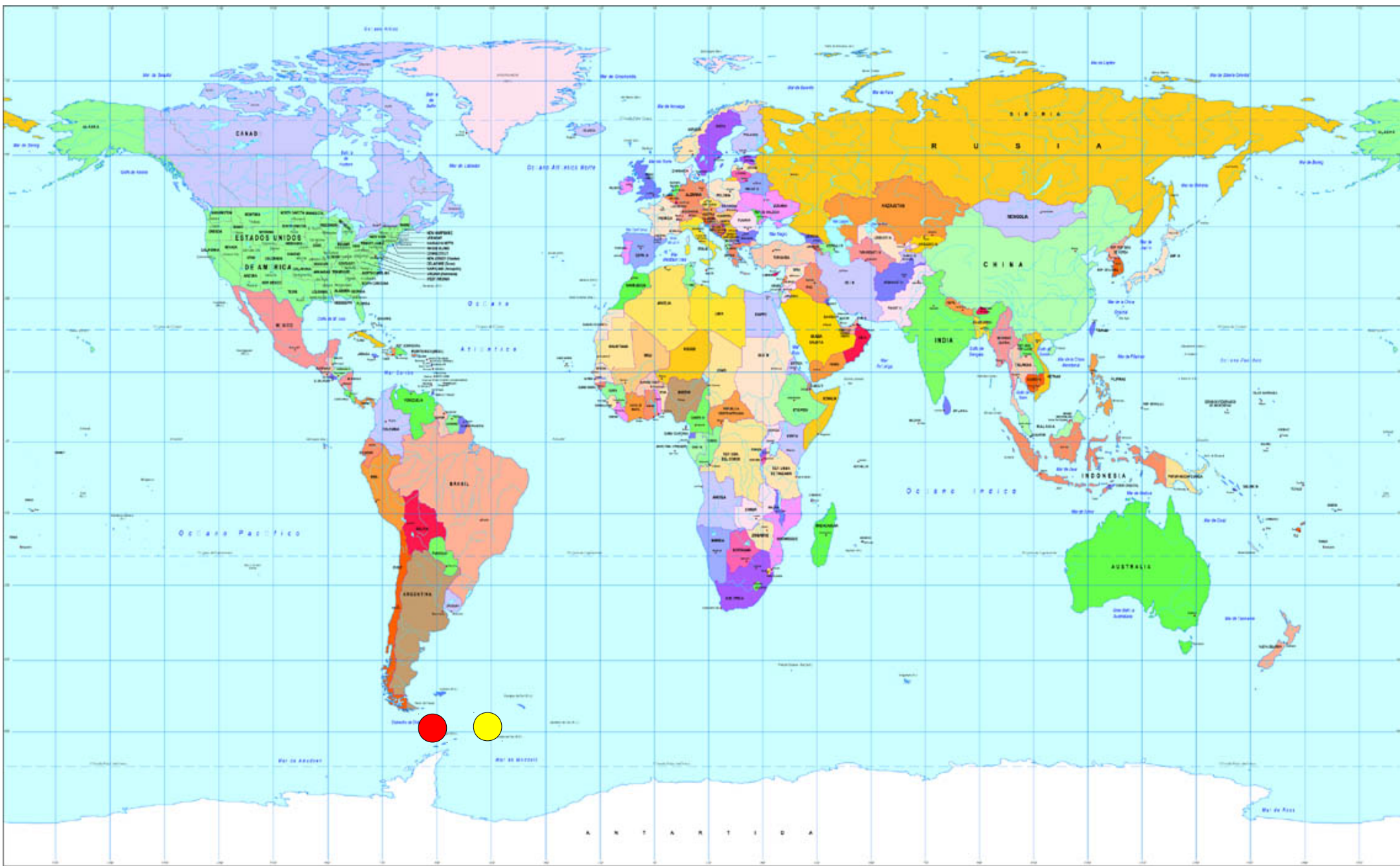


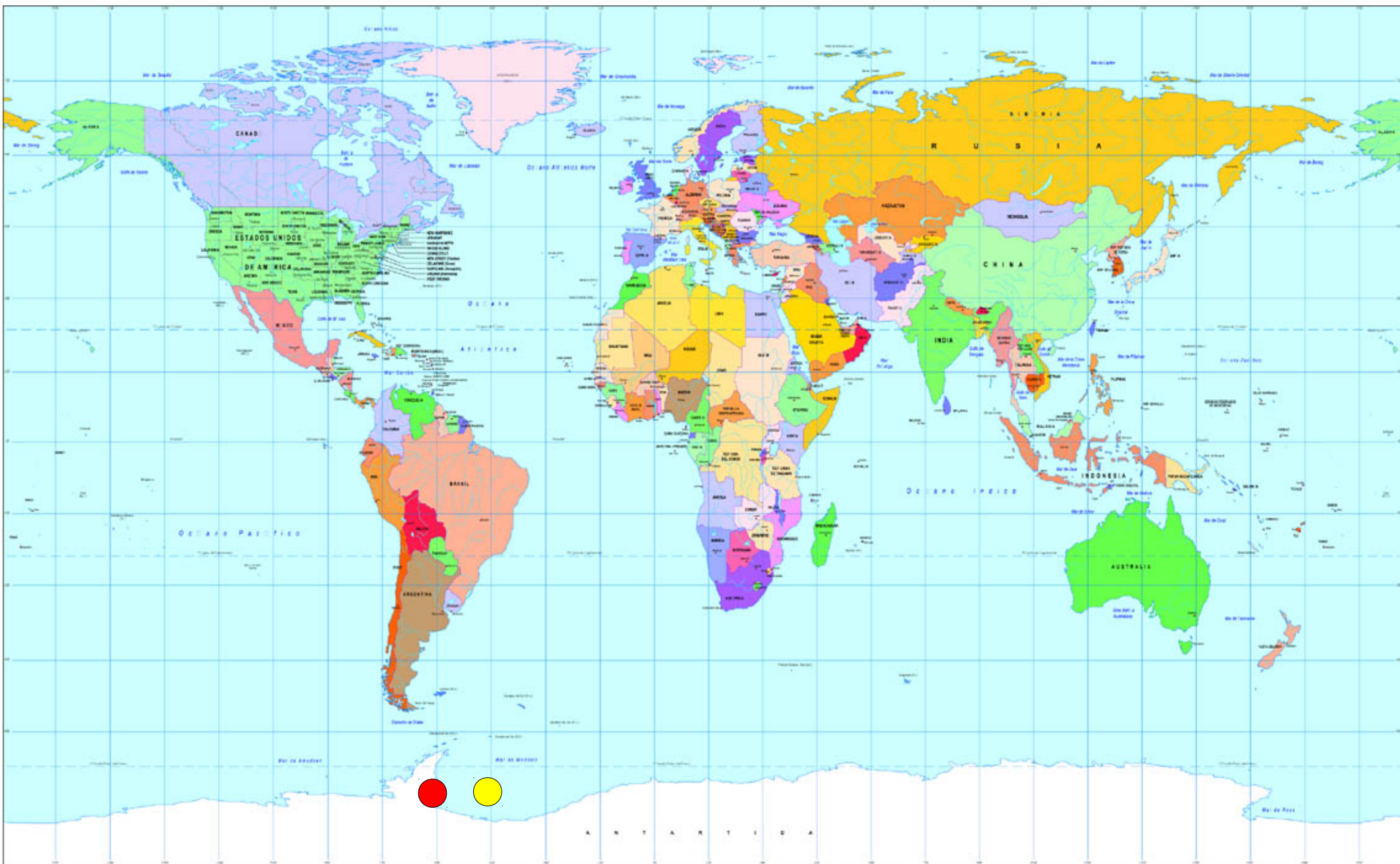












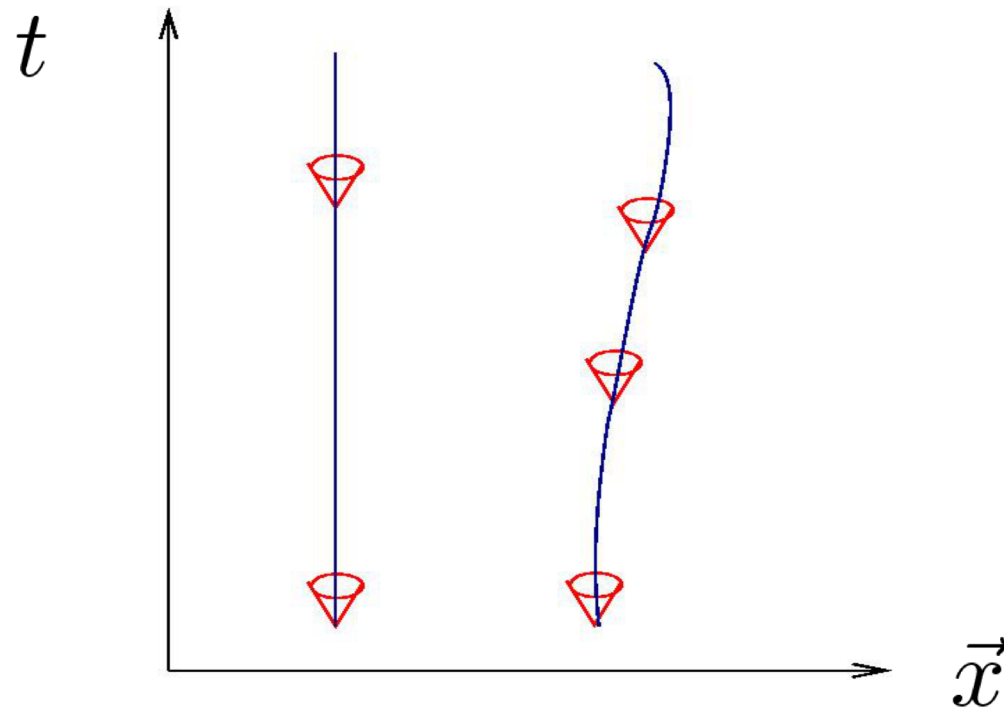
Nesta nova geometria,
não há
necessidade de introduzir
uma força gravitacional!

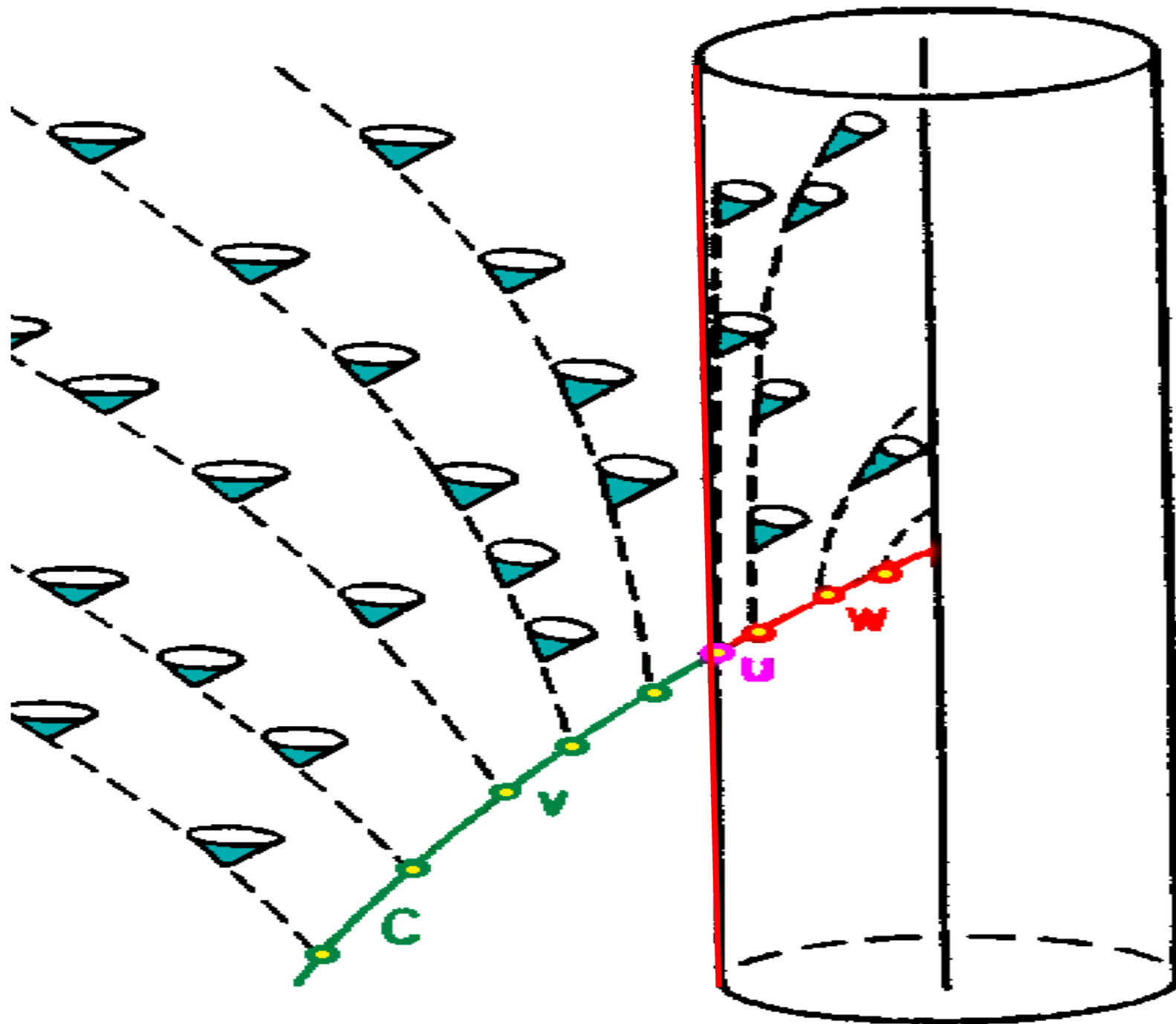




Estes efeitos são maiores
próximo a grandes massas

- Buracos negros
 - Clássicos
 - Relativísticos
 - Origem estelar ou cosmológica

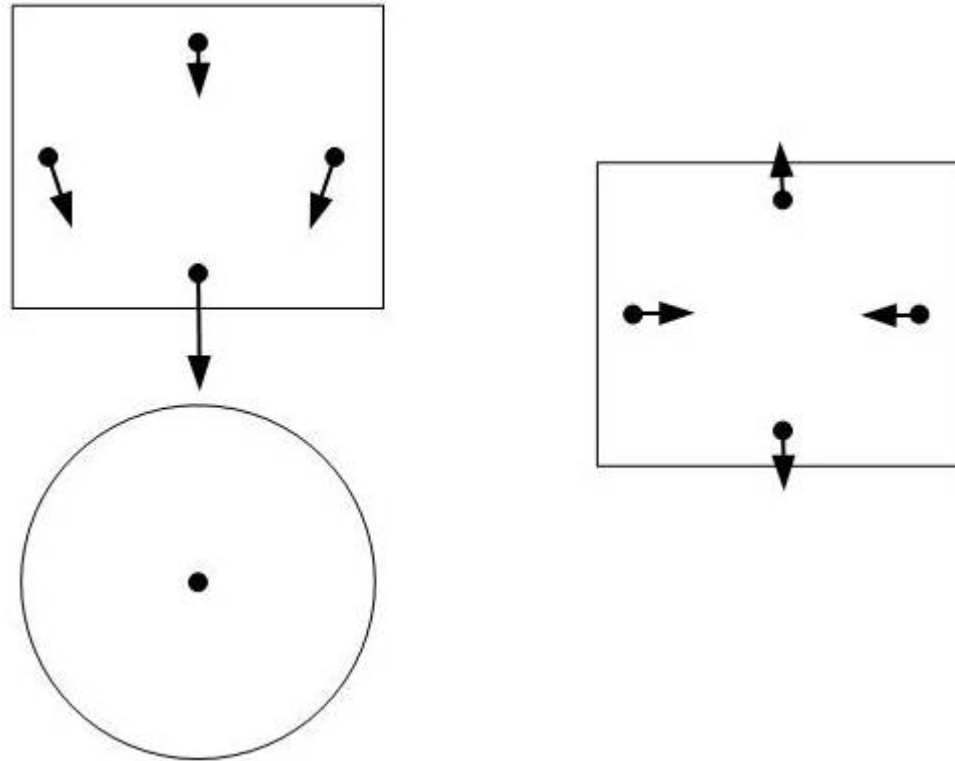




<http://www.phy.syr.edu/courses/modules/LIGHTCONE/schwarzschild.html>

Horizonte de eventos
não é uma barreira!

- efeitos de maré

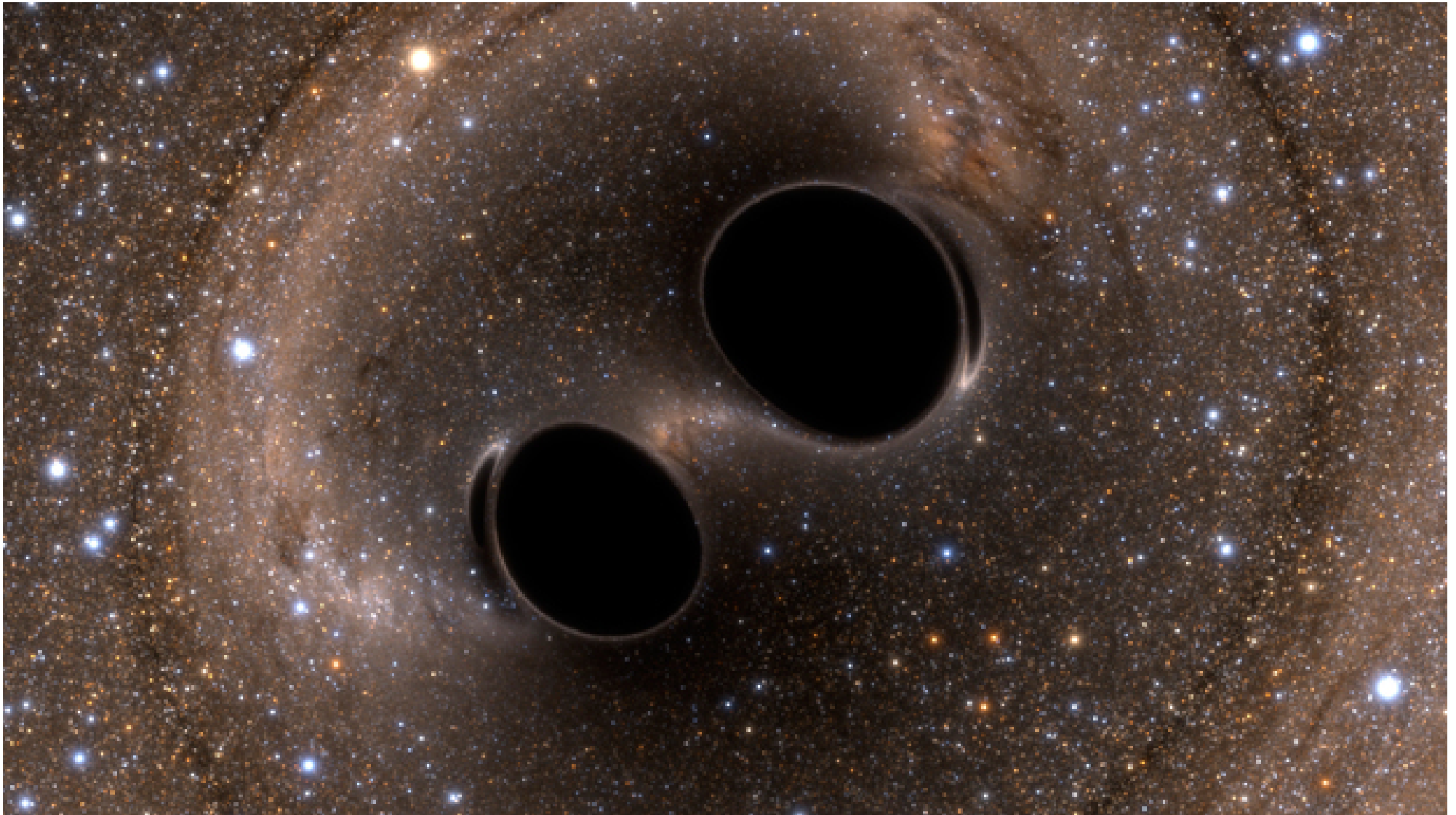


<http://quantumrelativity.calsci.com/Physics/SpaceAndTime2.html>

Radiação Hawking

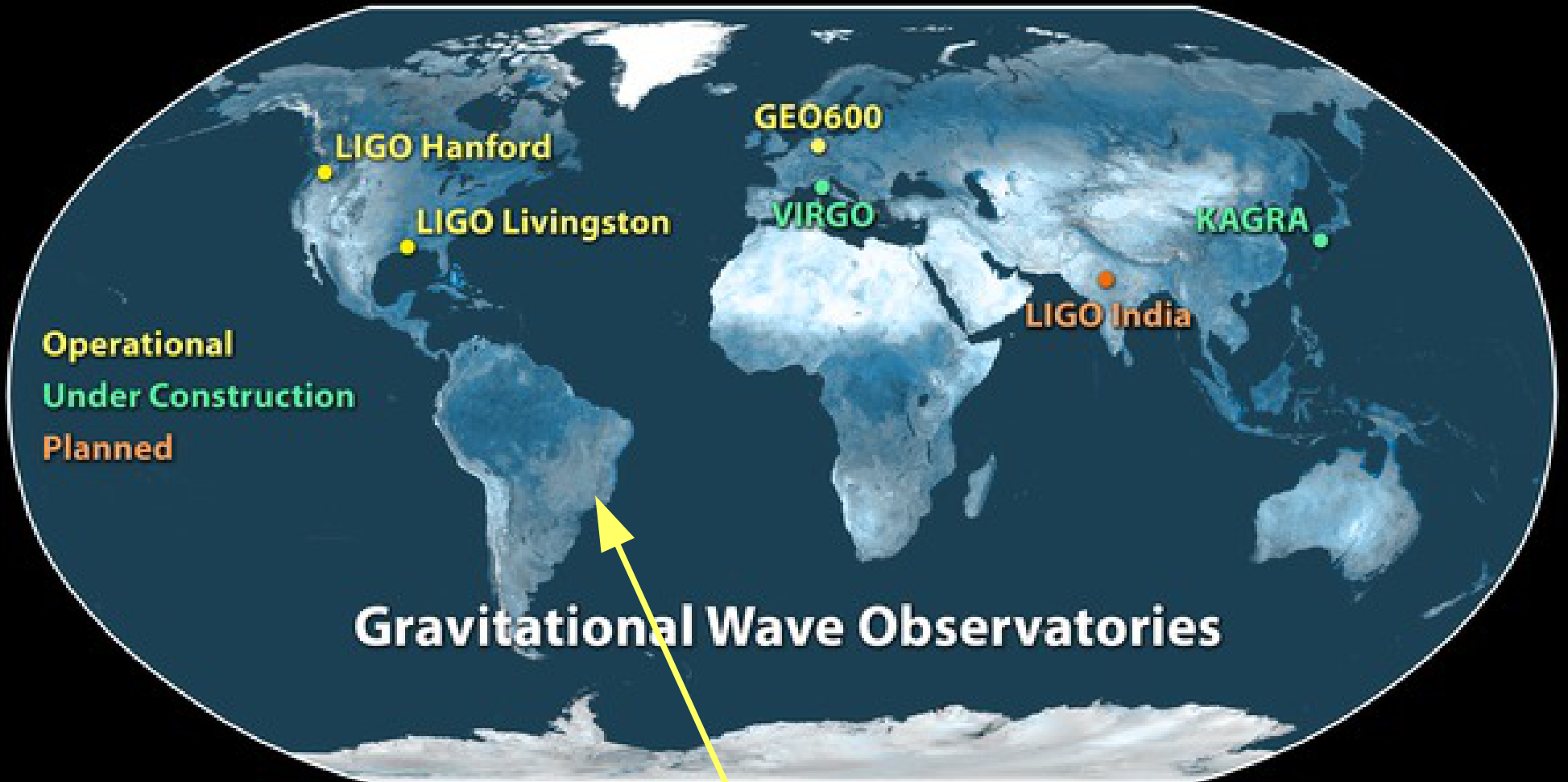
- criação de pares partícula-antipartícula
- taxa de criação $\sim \frac{1}{M_{BN}}$
- final ($M \rightarrow 0$): **?!?!?!?**

LASER INTERFEROMETER GRAVITATIONAL-WAVE OBSERVATORY



Participação Brasileira

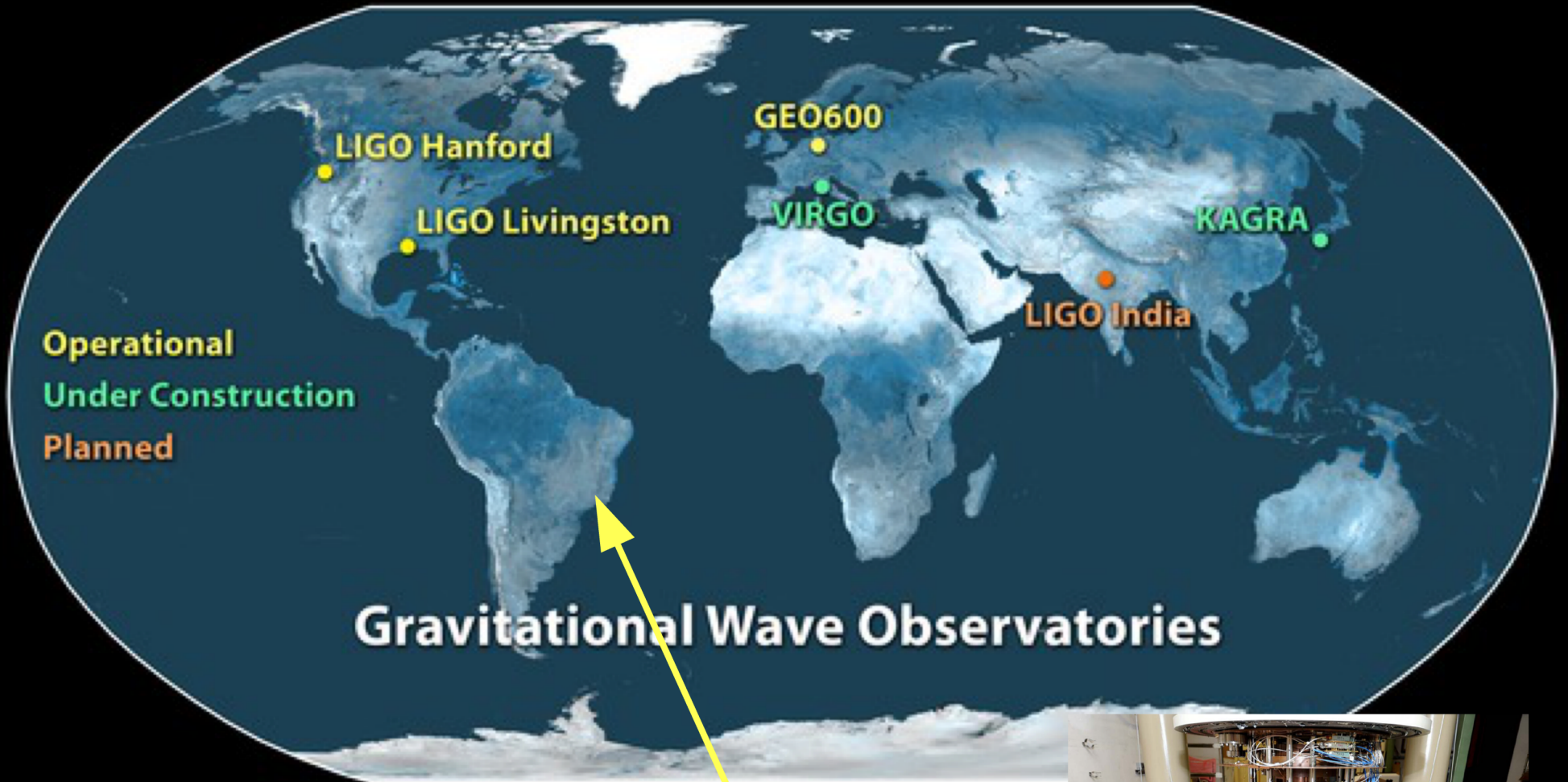
- Odylio Denys de Aguiar (Pesquisador Titular III, servidor do INPE)
- Marcos André Okada (Tecnico III, servidor do INPE)
- César Augusto Costa (Pos-doc, bolsista do CNPq)
- Márcio Constâncio Jr (aluno de doutorado do curso de pós-graduação em Astrofísica do INPE, bolsista da FAPESP)
- Elvis Camilo Ferreira (aluno de doutorado do curso de pós-graduação em Astrofísica do INPE, bolsista da CAPES)
- Allan Douglas dos Santos Silva (aluno de iniciação científica, bolsista da FAPESP)
- Riccardo Sturani (ICTP-SAIFR, no IFT-UNESP, bolsista "Jovem Pesquisador" da FAPESP)



Operational
Under Construction
Planned

Gravitational Wave Observatories

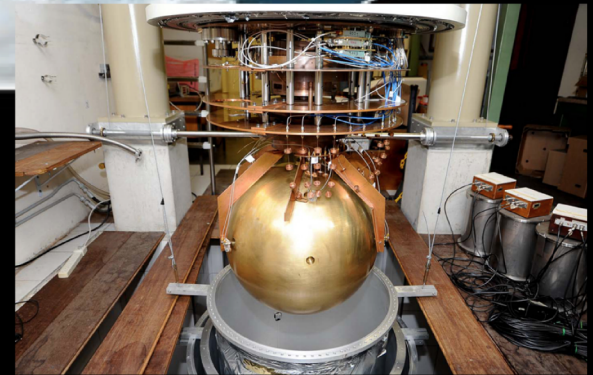
Schenberg

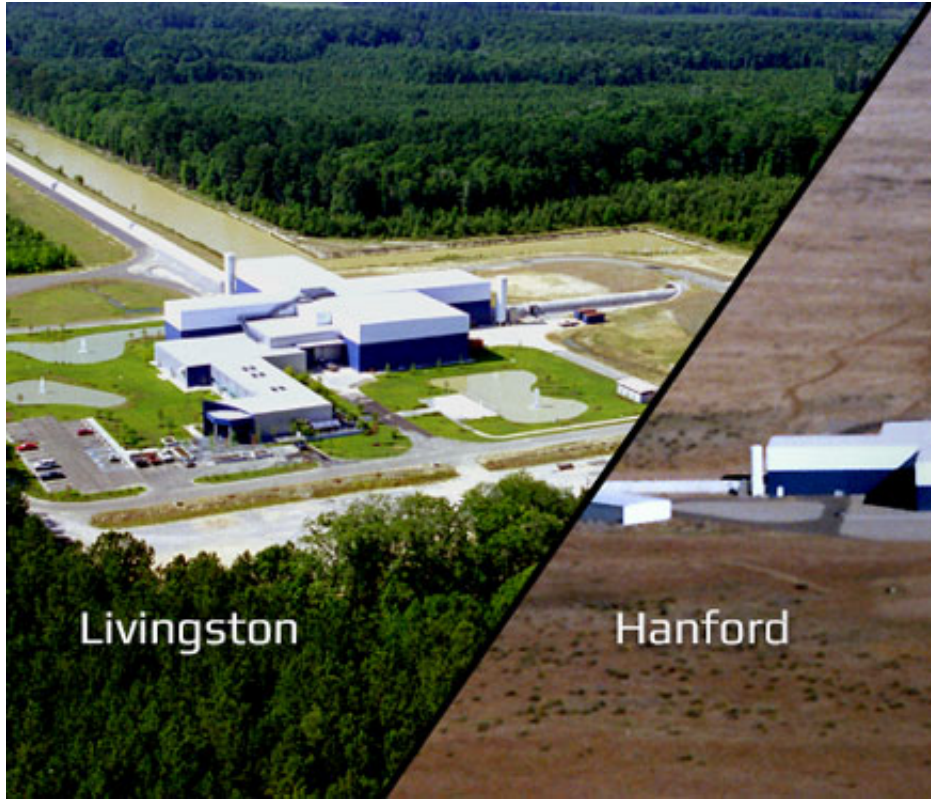


Operational
Under Construction
Planned

Gravitational Wave Observatories

Schenberg





Livingston



Hanford

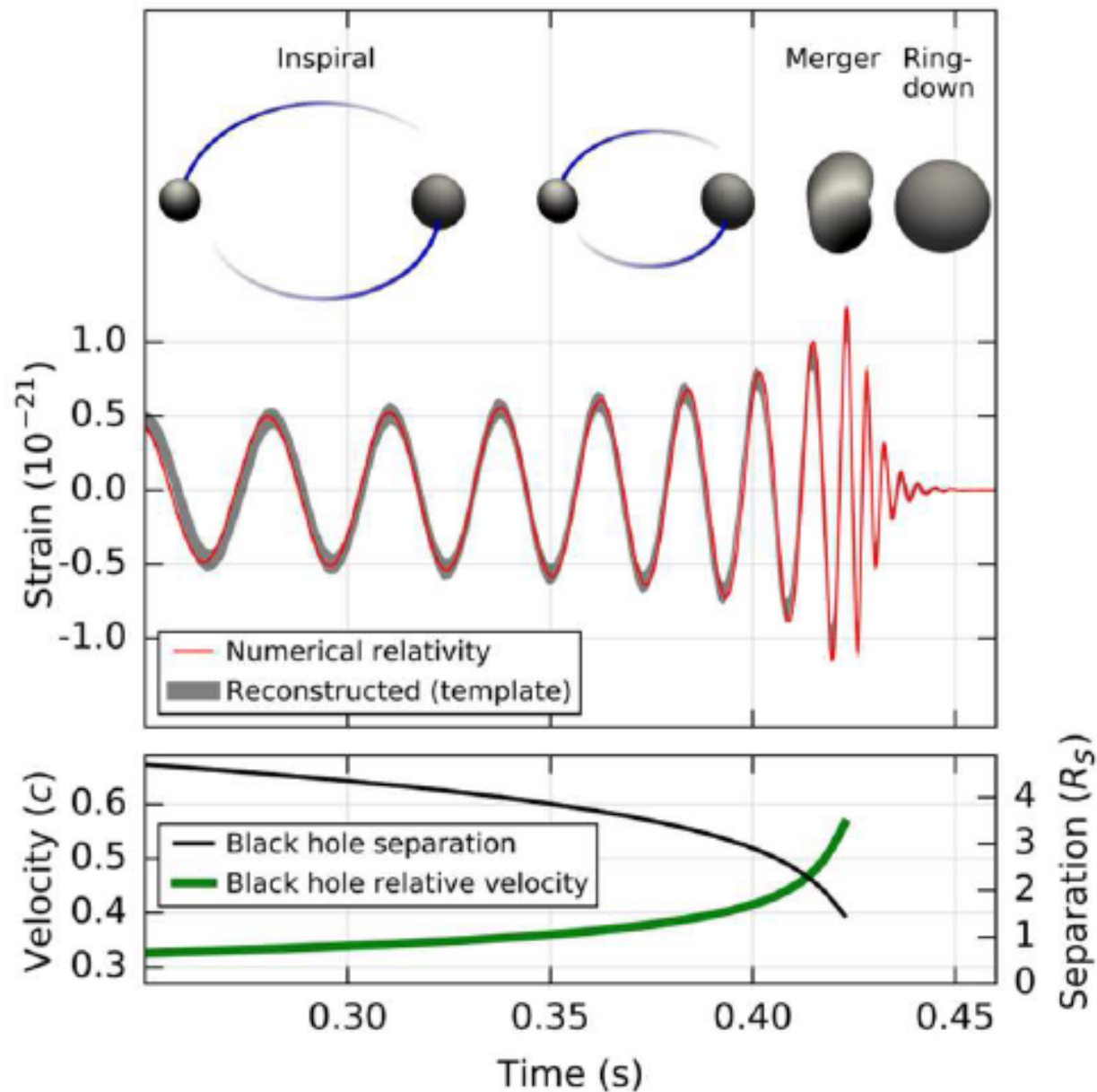
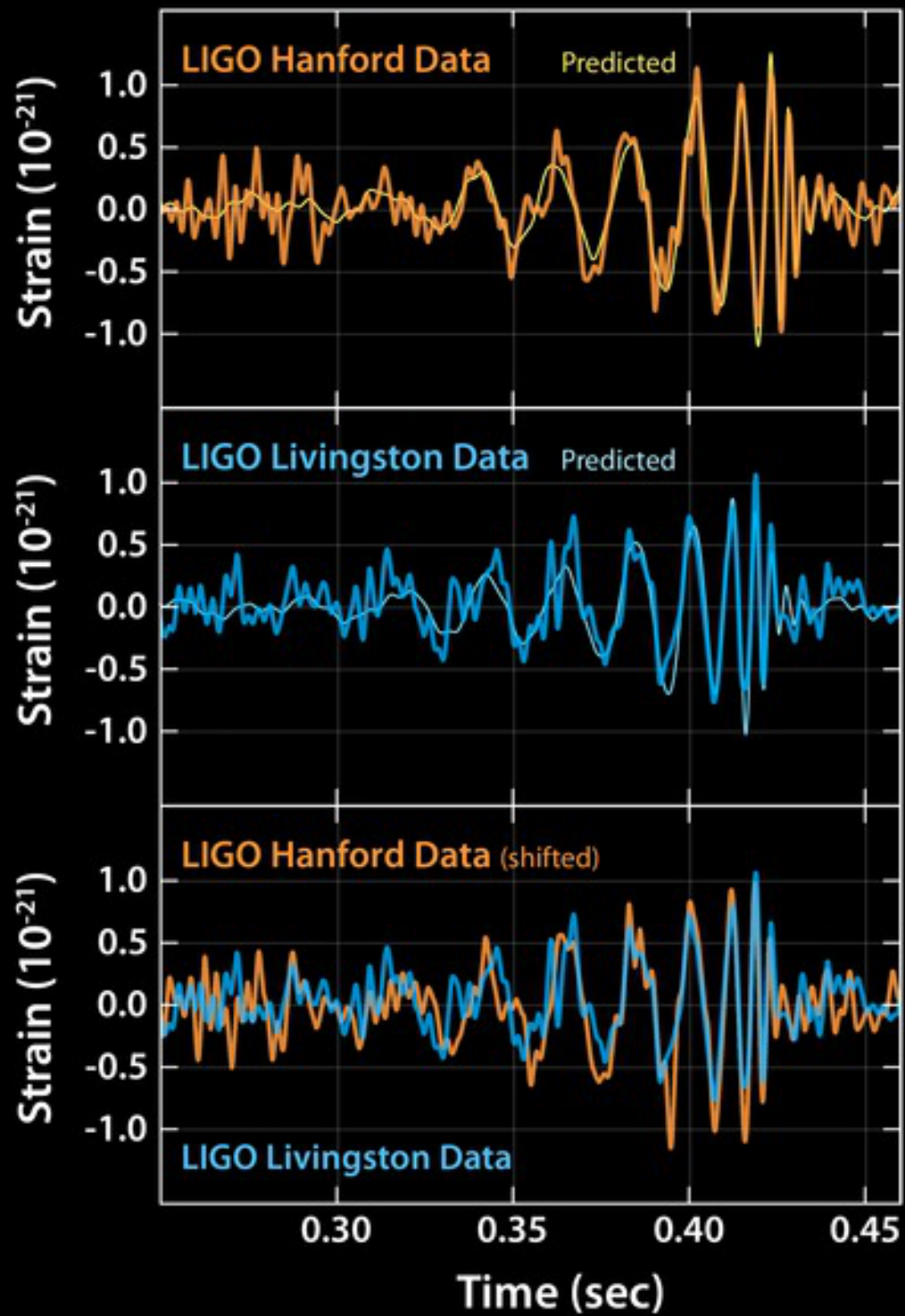


Figure 3. Some key results of our analysis of GW150914, comparing the reconstructed gravitational-wave strain (as seen by H1 at Hanford) with the predictions of the best-matching waveform computed from general relativity, over the three stages of the event: inspiral, merger and ringdown. Also shown are the separation and velocity of the black holes, and how they change as the merger event unfolds.



FACT SHEET

observed by	LIGO L1, H1
source type	black hole (BH) binary
date	14 Sept 2015
time	09:50:45 UTC
likely distance	0.75 to 1.9 Gly 230 to 570 Mpc
redshift	0.054 to 0.136
signal-to-noise ratio	24
false alarm prob.	< 1 in 5 million
false alarm rate	< 1 in 200,000 yr
signal arrival time delay	arrived in L1 7 ms before H1
likely sky position	Southern Hemisphere

FACT SHEET

observed by	LIGO L1, H1
source type	black hole (BH) binary
date	14 Sept 2015
time	09:50:45 UTC
likely distance	0.75 to 1.9 Gly 230 to 570 Mpc
redshift	0.054 to 0.136
signal-to-noise ratio	24
false alarm prob.	< 1 in 5 million
false alarm rate	< 1 in 200,000 yr
signal arrival time delay	arrived in L1 7 ms before H1
likely sky position	Southern Hemisphere

(Andrômeda: 2 Mly)

FACT SHEET

Source Masses	M_{\odot}
total mass	60 to 70
primary BH	32 to 41
secondary BH	25 to 33
remnant BH	58 to 67

duration from 30 Hz ~ 200 ms
cycles from 30 Hz ~ 10

peak displacement of
interferometers arms ± 0.002 fm

peak GW luminosity 3.6×10^{56} erg s⁻¹
radiated GW energy 2.5-3.5 M_{\odot}

FACT SHEET

Source Masses	M_{\odot}
total mass	60 to 70
primary BH	32 to 41
secondary BH	25 to 33
remnant BH	58 to 67

duration from 30 Hz ~ 200 ms
cycles from 30 Hz ~10

peak displacement of
interferometers arms ± 0.002 fm

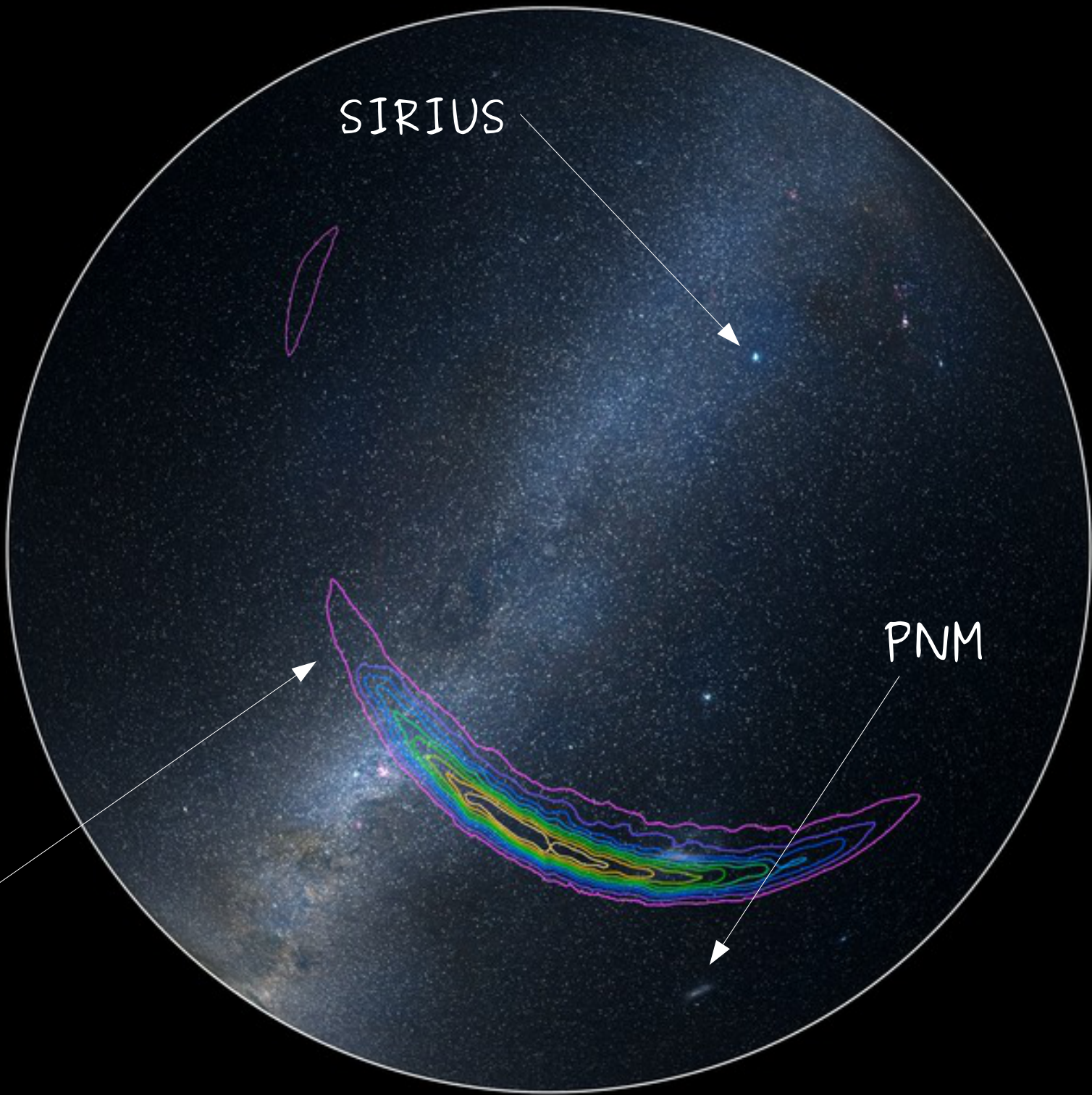
peak GW luminosity 3.6×10^{56} erg s⁻¹
radiated GW energy 2.5-3.5 M_{\odot}

(~50 x todo o universo!)

FACT SHEET

consistent with general relativity? graviton mass bound	passes all tests performed < 1.2×10^{-22} eV
--	--

coalescence rate of binary black holes	2 to 400 $\text{Gpc}^{-3} \text{yr}^{-1}$
---	---



SIRIUS

PNM

90%



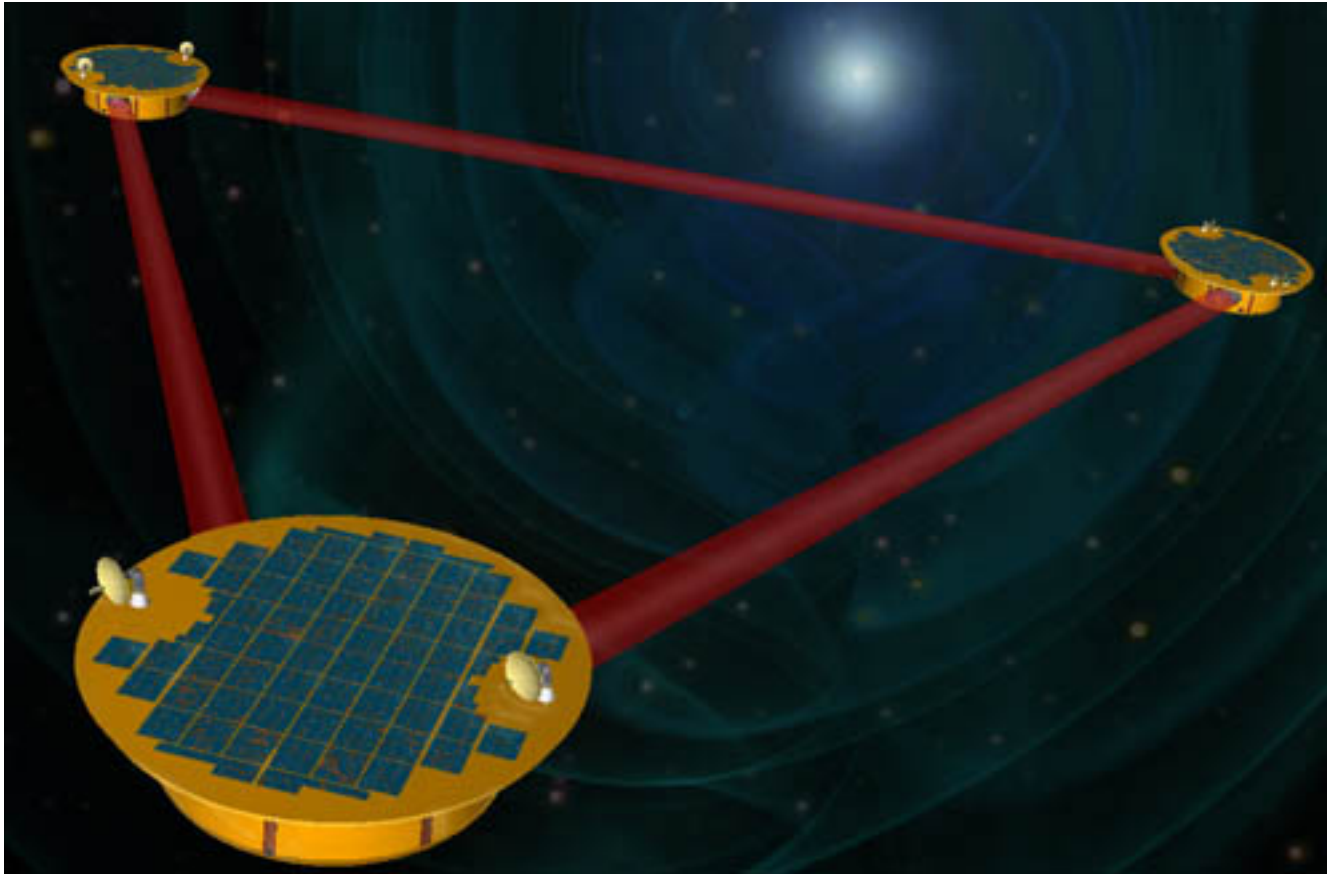
Bibliografia

- ligo.org
- ligo.caltech.edu
- advancedligo.mit.edu
- livingreviews.org/lrr-2011-5
- PRL 116, 061102 (2016)

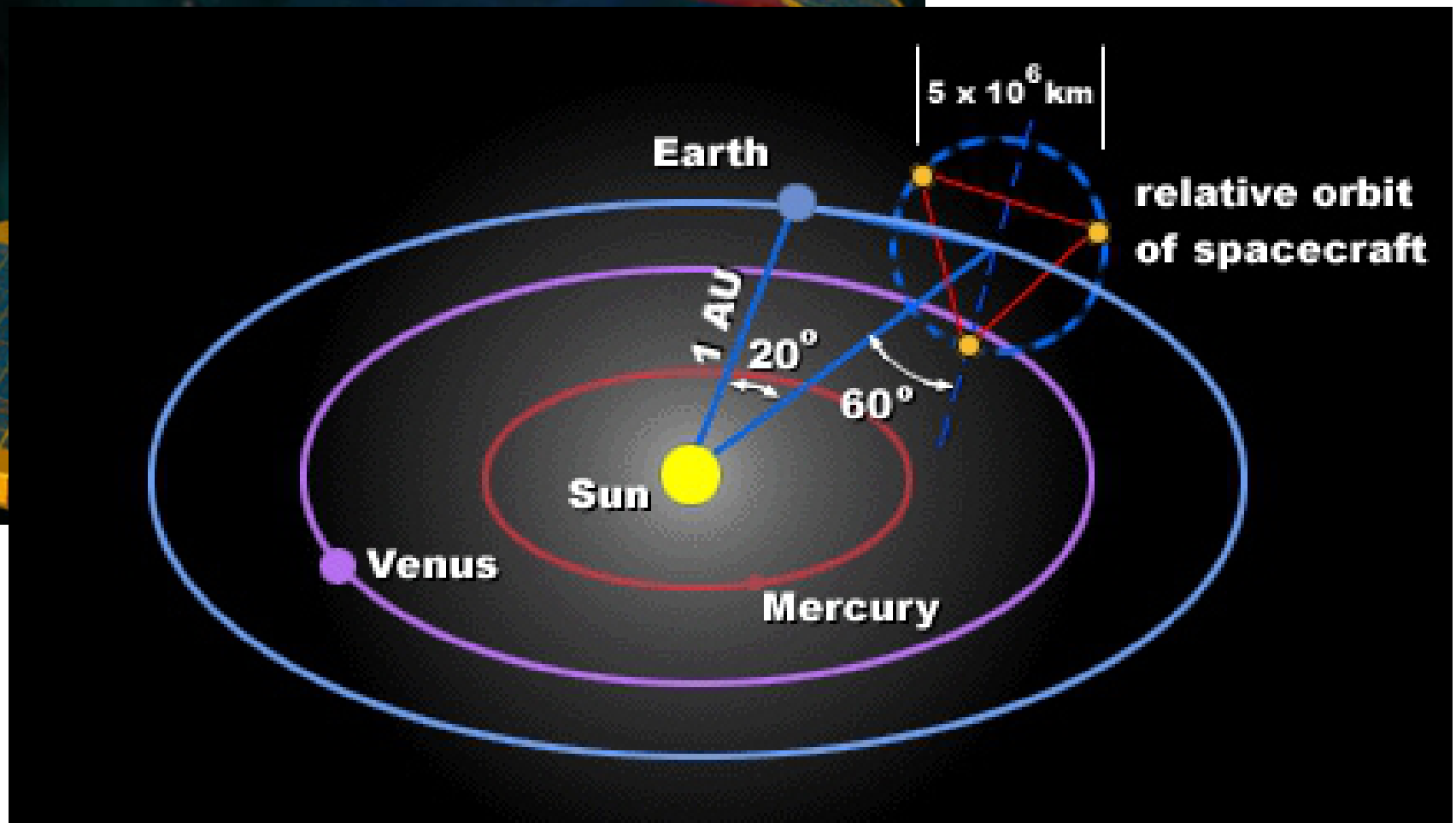
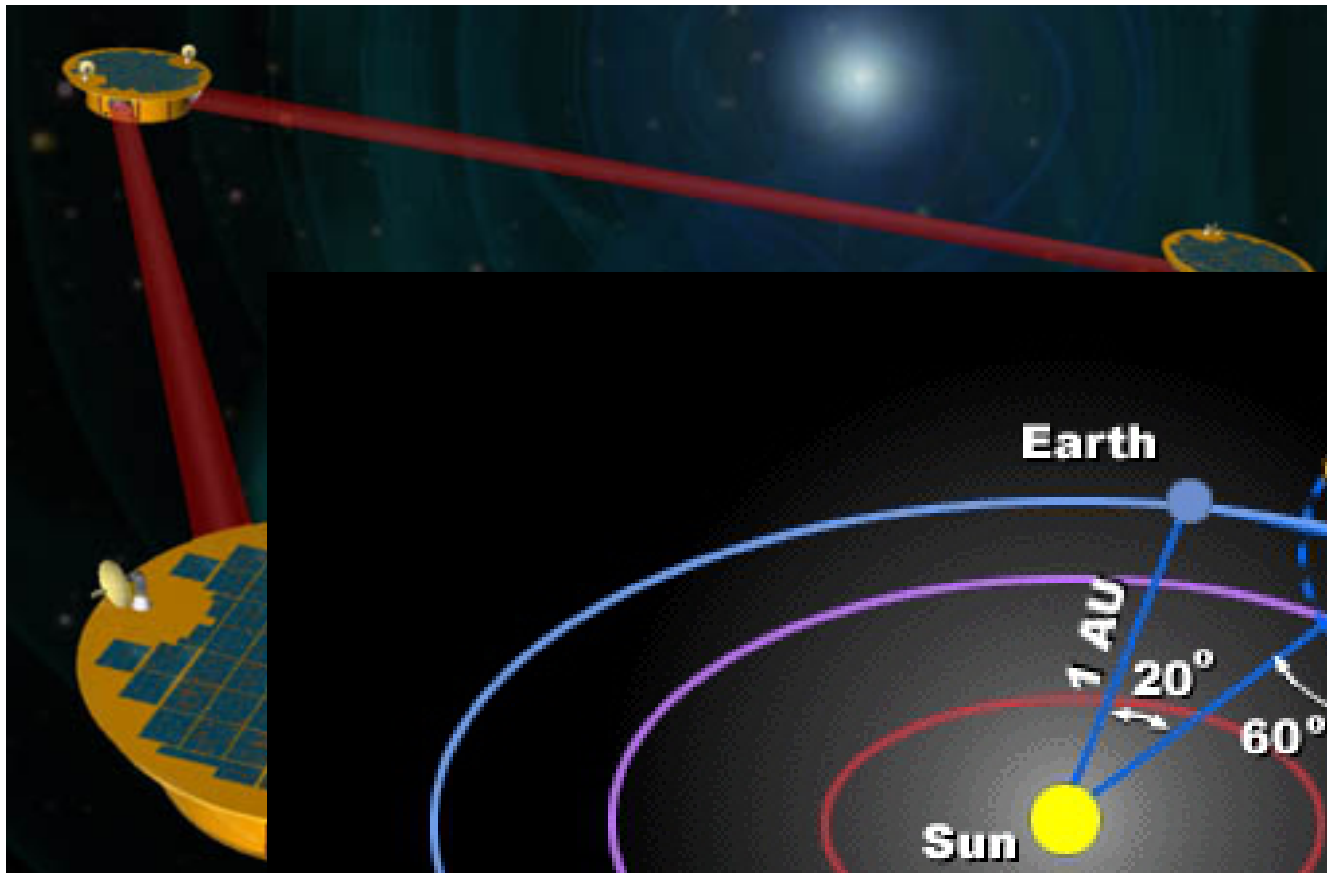
Conclusões (até agora)

- $c = \text{cte}$: muito forte, mas **é** real!
- A relatividade de Einstein ainda está sendo testada
- Ainda há muito o que fazer (vide problemas da **matéria e energia escuras**)!
~ **96%** do universo!

lisa.org



lisa.org



ARCOS

Astrofísica, Relatividade e COSmologia

arcos.if.ufrj.br

Prof. Beatriz Blanco Siffert

Prof. Ioav Waga

Prof. Maurício Ortiz Calvão

Prof. Miguel Quartin

Prof. Ribamar R. R. Reis

Prof. Sergio E. Jorás

joras@if.ufrj.br

www.if.ufrj.br/~joras